

MINISTERUL EDUCAȚIEI



**UNIVERSITATEA TEHNICĂ**

DIN CLUJ-NAPOCA

FACULTATEA DE AUTOMATICĂ ȘI CALCULATOARE

# MODELAREA UNUI SISTEM DE CONTROL DISTRIBUIT PENTRU O ÎNCĂPERE FOLOSIND FLETPN

PROIECT DE DIPLOMĂ

Autor: **Robert Emanuel LUCACI**

Conducător științific: **SL.dr.ing. Octavian CUIBUS**

**2024**



**UNIVERSITATEA TEHNICĂ**

DIN CLUJ-NAPOCA

FACULTATEA DE AUTOMATICĂ ȘI CALCULATOARE

Vizat,

DECAN

Prof. dr. ing. Mihaela DÎNȘOREANU

DIRECTOR DEPARTAMENT AUTOMATICĂ

Prof. dr. ing. Honoriu VĂLEAN

Autor: **Robert Emanuel LUCACI**

**Modelarea unui sistem de control distribuit pentru o încăpere  
folosind FLETPN**

1. **Enunțul temei:** *Modelarea unui sistem distribuit cu regulatoare modelate cu rețele FLETPN pentru a controla și monitoriza temperatura unei încăperi*
2. **Conținutul proiectului:** *Capitolul 1. Introducere, Capitolul 2. Studiu bibliografic Capitolul 3. Analiză, proiectare, implementare, Capitolul 4. Scenarii și testare aplicație, Capitolul 5. Concluzii, Capitolul 6. Bibliografie*
3. **Locul documentării:** *Universitatea Tehnică din Cluj-Napoca*
4. **Consultanți:**
5. **Data emiterii temei:** 01.10.2023
6. **Data predării:** 11.07.2024

Semnătura autorului

Semnătura conducătorului științific

autorul lucrării:

Modelarea unui sistem de control distribuit pentru o încăpere folosind FLETPN

elaborată în vederea susținerii examenului de finalizare a studiilor de licență la **Facultatea de Automatică și Calculatoare**, specializarea **Automatică și Informatică Aplicată (la Satu Mare)**, din cadrul Universității Tehnice din Cluj-Napoca, sesiunea Iulie 2024 a anului universitar 2023-2024, declar pe proprie răspundere, că această lucrare este rezultatul propriei activități intelectuale, pe baza cercetărilor mele și pe baza informațiilor obținute din surse care au fost citate, în textul lucrării, și în bibliografie.

Declar, că această lucrare nu conține porțiuni plagiate, iar sursele bibliografice au fost folosite cu respectarea legislației române și a convențiilor internaționale privind drepturile de autor.

Declar, de asemenea, că această lucrare nu a mai fost prezentată în fața unei alte comisii de examen de licență.

În cazul constatării ulterioare a unor declarații false, voi suporta sancțiunile administrative, respectiv, *anularea examenului de licență*.

## Data

11.07.2024

Robert Emanuel LUCACI



(semnătura)



## SINTEZA

proiectului de diplomă cu titlul:

### **Modelarea unui sistem de control distribuit pentru o încăpere folosind FLETPN**

Autor: **Robert Emanuel LUCACI**

Conducător științific: **SL.dr.ing Octavian CUIBUS**

1. Cerințele temei: Realizarea unui model al unui sistem capabil să controleze și să monitorizeze reglarea temperaturii într-o încăpere
2. Soluții alese: Soluția include o aplicație software care modelează componentele de control prin rețele FLETPN
3. Rezultate obținute: Se obține un model al unui sistem distribuit capabil să controleze reglarea temperaturii și să monitorizeze un set de performanțe
4. Testări și verificări: Se testează reziliența aplicației prin conectarea/deconectarea reglatoarelor, se testează funcționalitățile de bază implementate la nivelul interfeței grafice, se verifică și se analizează performanțele obținute
5. Contribuții personale: Realizarea aplicației demonstrative care permite testarea componentelor prezente în modelul sistemului, posibilitatea de a urmări modificările de sistem prin vizualizarea diferitelor elemente precum grafice sau comenzi pentru a urmări comportamentul, implementarea unor modele matematice care să permită reglarea pe parcursul fiecărui anotimp
6. Surse de documentare: articole IEEE, cursuri/laboratoare SCD, surse web

Semnătura autorului

Semnătura conducătorului științific

# Cuprins

<b>1</b>	<b>INTRODUCERE.....</b>	<b>2</b>
1.1	CONTEXT GENERAL .....	2
1.2	OBIECTIVE.....	3
1.3	SPECIFICAȚII .....	3
<b>2</b>	<b>STUDIU BIBLIOGRAFIC.....</b>	<b>6</b>
2.1	LOGICA FUZZY.....	6
2.2	REȚELE PETRI.....	8
2.3	PROCESE TERMICE .....	10
2.4	SISTEME DISTRIBUITE.....	10
2.4.1	<i>Arhitectura client-server .....</i>	<i>11</i>
2.5	PRINCIPII OOP .....	11
2.6	DESIGN PATTERNS .....	12
<b>3</b>	<b>ANALIZĂ, PROIECTARE, IMPLEMENTARE.....</b>	<b>14</b>
3.1	ARHITECTURA APLICAȚIEI.....	15
3.1.1	<i>Componenta RTC.....</i>	<i>17</i>
3.1.2	<i>Componenta HTC .....</i>	<i>19</i>
3.1.3	<i>Componenta ACC .....</i>	<i>21</i>
3.2	CONECTAREA SERVERULUI CU REGULATOARELE .....	22
3.3	CONECTAREA ÎNTRE DOUĂ COMPONENTE CU JETON FUZZY .....	23
3.4	STRUCTURA APLICAȚIEI .....	24
3.5	IMPLEMENTARE.....	29
3.5.1	<i>Șabloane de proiectare folosite .....</i>	<i>32</i>
<b>4</b>	<b>SCENARII ȘI TESTARE APLICAȚIE .....</b>	<b>33</b>
4.1	SCENARII DE TESTARE .....	33
4.2	TESTARE EFECTIVĂ .....	34
4.3	PERFORMANȚE.....	35
4.4	REZILIENȚA APLICAȚIEI .....	42
<b>5</b>	<b>CONCLUZII.....</b>	<b>43</b>
5.1	REZULTATE OBȚINUTE.....	43
5.2	DIRECȚII DE DEZVOLTARE.....	44
<b>6</b>	<b>BIBLIOGRAFIE.....</b>	<b>47</b>

# 1 Introducere

## 1.1 Context general

Reglarea temperaturii într-un spațiu închis reprezintă un sistem esențial pentru a asigura numeroase beneficii care influențează în mod semnificativ calitatea vieții și bunăstarea persoanelor. Aceste sisteme prezintă astfel un rol esențial care contribuie la îmbunătățirea calității vieții prin existența lor în diferite clădiri precum: locuințe personale, spații medicale, clădiri comerciale, fabrici industriale cât și o serie de diferite locații diverse utilizate în mediul cotidian, astfel gradul de răspândire al acestui tip de reglare motivează dorința de dezvoltare a lucrării curente.

În contextul climatic actual, reducerea consumului de gaz ca materie primă poate contribui semnificativ la protejarea mediului înconjurător și, în consecință, costurile financiare personale se pot reduce semnificativ. Faptul că în ultimii ani s-au prevăzut creșteri însemnate la nivelul costurilor energetice, progresul tehnologic de a realiza un sistem de reglare devine cu atât mai relevant.

Conform unui studiu realizat în Germania, o treime din energia consumată este utilizată pentru încălzirea locuințelor personale, fapt pentru care optimizarea acestui sistem poate duce la o reducere semnificativă a consumului de gaz pentru utilizarea acestuia în alte domenii de interes actual. Prin faptul că cel mai comun mod de a controla temperatura în cameră cu ajutorul unei valve termostactice acționată manual, se justifică nevoia de inovare în domeniu[1].

În prezenta lucrare se propune utilizarea rețelelor Fuzzy Logic Enhanced Time Petri Nets(FLETPN) pentru a permite modelarea și utilizarea reguletoarelor prezente în modelul centralei termice. Acestea se implementează sub structura unui sistem distribuit pentru a permite funcționarea sistemului chiar și în lipsa unui regulator din cele existente, fapt ce duce totodată la reducerea complexității fiecărei componente.

Structura lucrării prezente este secționată sub forma următoare:

1. Introducerea are ca scop deprinderea subiectului abordat prin prezentarea contextului și a necesității de dezvoltare a domeniului prin propunerea unui set de obiective
2. Studiul bibliografic urmărește analizarea tehnologiilor existente pentru a putea identifica problemele și limitările actuale
3. Analiza, proiectarea și implementarea prezintă realizarea detaliată a lucrării propuse prin oferirea informațiilor necesare pentru a o reproduce
4. Concluziile constau în determinarea obiectivelor realizate în urma implementării și prezentarea posibilelor direcții de dezvoltare

## **1.2 Obiective**

Obiectivul principal al proiectului constă în proiectarea și testarea unui control al temperaturii realizat cu ajutorul unor regulatoare PID care contribuie la reducerea consumului de resurse prin utilizarea rețelelor FLETPN. Fiecare regulator ce intră în setul de componente al sistemului reprezintă un nod al sistemului distribuit, noduri care au capacitatea de a comunica între ele. Fiecare regulator este independent și poate regla sistemul în mod independent, însă prin realizarea comunicării dintre acestea, ele pot să colaboreze cu scopul atingerii unei reglări mai eficiente.

Rețele Petri avansate permit implementarea unui sistem de control hibrid prin modelarea componentelor unei centrale termice care necesită utilizarea unor evenimente discrete la nivel de transmitere a semnalelor în acord cu ajustarea temperaturii care este un proces continuu în timp. Utilizarea acestor rețele împreună cu logica fuzzy provine din necesitatea de a implementa locații ce pot reprezenta reacții sincrone precum compararea temperaturii actuale cu cea setată pe termostat cât și reacții asincrone cum ar fi decizia autonomă a termostatului care anticipă o scădere bruscă de temperatură și, în consecință, poate începe încălzirea camerei în prealabil.

Un sistem distribuit permite divizarea obiectivelor și a resurselor pentru a facilita și îmbunătăți implementarea sistemelor complexe. Principalul avantaj care justifică utilizarea acestui tip de implementare este dat de faptul că prin reducerea complexității, se previn substanțial posibilele defecte iar dacă unul dintre componente devine nefuncțional, serviciul oferit continuă să opereze în ciuda defecțiunii locale. Acest model de implementare a apărut odată cu necesitatea descentralizării sistemelor cu o capacitate computațională extrem de ridicată care duce la diferite probleme, printre care: problema alocării resurselor și apariția timpului de răspuns ridicat.

Pentru realizarea proiectului se dorește implementarea unei centrale termice prin realizarea unui set de ecuații matematice care să descrie comportamentul fiecărei componente prezente. La nivel de control apar 3 regulatoare, fiecare cu o atribuție diferită: un termostat pentru modelul camerei, un regulator pentru controlul temperaturii apei care circulă prin instalație și un regulator care are ca scop gestionarea unui aer condiționat.

O interfață de utilizator este necesară pentru a putea interacționa în mod direct cu întreg sistemul prin ajustarea temperaturii cât și să acorde posibilitatea de monitorizare a datelor și analizarea acestora cu scopul de a identifica parametrii precum consumul mediu sau perioada maximă în care o componentă este activă.

## **1.3 Specificații**

În acest subcapitol se evidențiază cerințele pe care sistemul trebuie să le îndeplinească. În primul rând se menționează faptul că aplicația trebuie realizată sub forma unui model de sistem distribuit pentru a permite ca fiecare regulator să aibă posibilitatea să funcționeze independent. În consecință, prin distribuirea sistemului, se

dorește realizarea unei rețele de comunicare care să permită reglatoarelor să funcționeze împreună pentru a putea regla modelul centralei termice.

În continuare se dorește identificarea componentelor care se află în sistem pentru a putea realiza ulterior un model matematic al fiecărei componente. Conform diagramei componentelor din Figura 1.3.1 se pot identifica intrările și ieșirile fiecărui element.

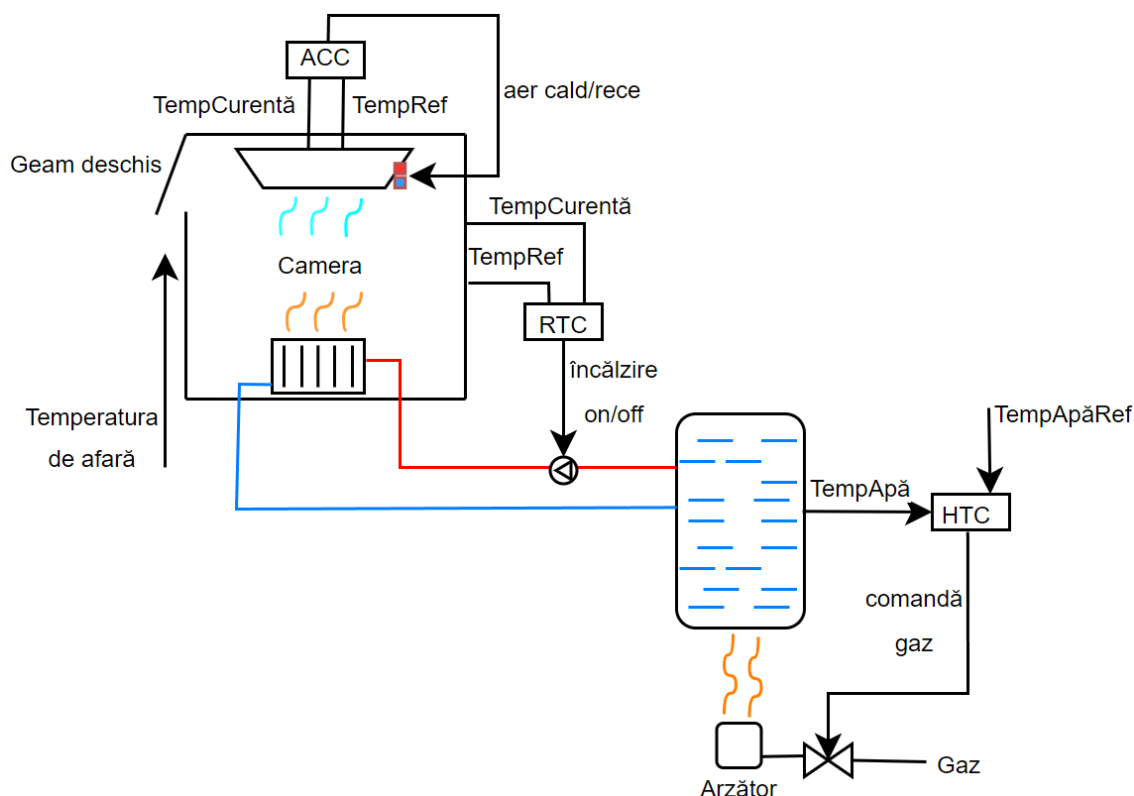


Figura 1.3.1. Diagrama componentelor

La nivelul diagramei de mai sus se observă apariția modelului asupra căreia se va realiza reglarea. Regulatorul RTC dorește să primească două valori: temperatura de referință dorită și temperatura curentă a camerei deoarece acesta va trebui să calculeze eroarea cu scopul de a determina dacă este necesară pornirea încălzirii. În cazul în care eroarea nu este nulă, se dorește ca agentul termic să fie circulat prin calorifer. Regulatorul HTC trebuie să realizeze reglarea temperaturii la nivelul boilerului, în funcție de eroarea calculată acesta trebuie să fie capabil să ofere la ieșire o comandă de gaz corespunzătoare care să acționeze asupra valvei care permite trecerea gazului de ardere. Regulatorul ACC se ocupă de reglarea aerului condiționat din încăpere și în funcție de eroarea măsurată se dorește ca acesta să comande dacă dispozitivul asigură aer rece sau aer cald. Totodată, se dorește ca sistemul să fie capabil să rejeteze perturbații exterioare precum deschiderea geamului din încăpere raportat la temperatura de afară.

Datorită apariției acestor elemente se remarcă necesitatea introducerii unei serii de reglatoare pentru a realiza controlul asupra sistemului dat, fapt pentru care se construiește o diagramă de reglare care să evidențieze schema de control împreună cu conexiunile corespunzătoare conform modelului prezentat în Figura 1.3.2.



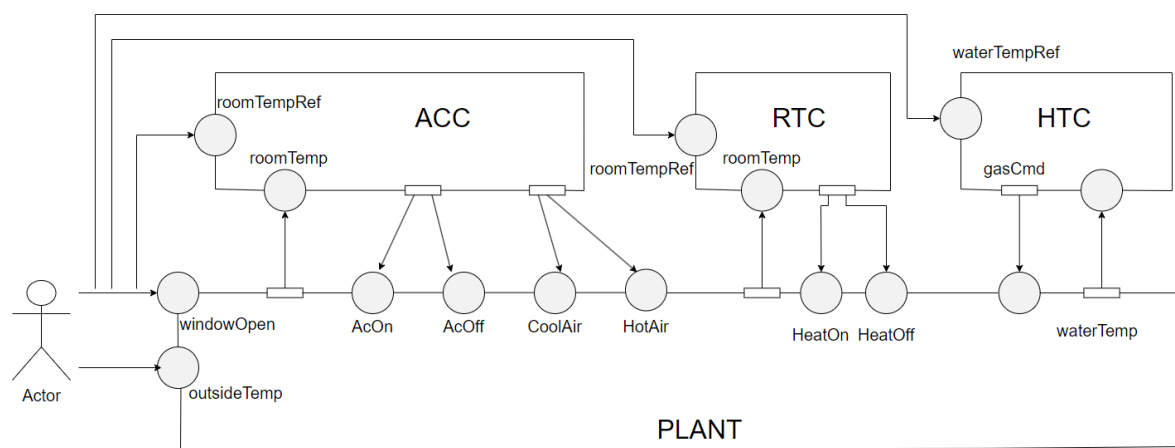


Figura 1.3.2. Arhitectura aplicației

În această schemă se pot observa cele 3 regulatoare care intră în componenta sistemului și care acționează asupra centralei termice cu un set de comenzi. La nivelul regulatorului HTC se observă că acesta primește la intrare valoarea curentă a temperaturii apei, cât și valoarea de referință la care se dorește să se ajungă. Cu privire la ieșirea acestui regulator, se observă că se transmite o comandă de gaz care arde cu scopul de a încălzi temperatura apei până la valoarea dorită. În mod similar se poate observa ce intrări, respectiv ce ieșiri prezintă fiecare regulator, astfel se poate observa cu precizie rolul și comanda pe care o are fiecare dintre acestea. Un alt set de intrări care este luat în considerare la nivelul acestei diagrame sunt perturbațiile pe care sistemul trebuie să fie capabil să le rejeteze. Astfel, se observă de asemenea că se ia în calcul temperatura de afară și posibilitatea ca un geam din încăperea este deschis.

Pentru ca utilizatorul să aibă capacitatea de a interacționa și monitoriza sistemul se ia în considerare crearea unei interfețe grafice simple de utilizator care să permită reglarea parametrilor de intrare a regulatoarelor și a scenariului de vreme. Deoarece sistemul se dorește a fi realizat sub o formă distribuită, prin intermediul acestei interfețe se poate alege pornirea sau oprirea fiecărui regulator în parte și totodată se pot măsura și analiza performanțele sistemului în timp real.

În urma proiectării și implementării se anticipează un nivel de performanță ridicat comparativ cu alte strategii comune de control termic și se analizează ce limitări apar în urma realizării sistemului. Mai mult decât atât, se urmărește testarea aplicației realizate pentru a se demonstra funcționalitățile prezente și pentru a se analiza nivelul de reziliență pe care această aplicație o prezintă.

## 2 Studiu bibliografic

În scopul acordării unui context al proiectului prezentat în această lucrare, în acest capitol se realizează analiza conceptelor esențiale cu scopul de a studia necesitatea identificării aspectelor neexplorate în acest domeniu prin evaluarea studiilor deja existente în domeniul actual de cercetare. Lucrarea prezintă urmărește aplicarea și dezvoltarea unor concepte din cadrul sistemelor de control distribuit[2].

### 2.1 Logica Fuzzy

Logica reprezintă o componentă fundamentală în utilizarea gândirii raționale cu scopul realizării anumitor activități. În context matematic, logica permite utilizarea raționamentului prin valori aproximative pentru a putea judeca un incident în condiții neclare. În acest fel, logica fuzzy urmărește să explice și să permită utilizarea unei astfel de raționament neclar pentru a putea simula și utiliza sisteme de control[3]. Un exemplu relevant pentru acest proiect este atunci când o persoană intră într-o cameră: aceasta poate determina într-un timp scurt dacă atmosfera din incintă este caldă, moderată sau rece, fără a avea nevoie să ofere o valoare exactă a temperaturii. Într-o manieră similară, se utilizează variabile fuzzy care mapează setul de reguli utilizat la nivelul sistemului. Scopul acestora este de a reduce complexitatea prin reducerea numărului de variabile folosite și se pot opera logic conform condiției (2.1.1), unde „fuzzy\_set1” este mulțimea valorilor pe care „input” le poate lua, iar „fuzzy\_set2”, mulțimea valorilor posibile pentru „acțiune” [4].

$$IF(input \text{ IS } \{fuzzy\_set1\}) THEN (acțiune) \text{ IS } \{fuzzy\_set2\} \quad (2.1.1)$$

Setul de mărimi fuzzy poate fi ales diferit în funcție de aplicație și domeniul în care este utilizat, pentru aplicația curentă se alege mulțimea  $FS=\{NL, NM, ZR, PM, PL\}$ , unde valorile sunt: Negative Long, Negative Medium, Zero, Positive Medium și Positive Long. Mulțimi similare pot fi alese precum  $FS=\{VHN, HN, MN, SN, ZR, SP, MP, HP, VHP\}$ , unde terminii sunt VHP: Very High Positive, HP: High Positive, MP: Medium Positive, SP: Small Positive, ZE: Zero, SN: Small Negative, MN: Medium Negative, HN: High Negative, VHN: Very High Negative” [5], însă nivelul de complexitate al regulilor fuzzy cresc substanțial.

Pentru a exemplifica, se alege mulțimea  $FS=\{L, M, H\}$ , unde L este Low, M este Medium și H este High, funcții care se reprezintă în acest exemplu în intervalul  $[-0.5, 0.5]$ . Odată ce setul de reguli este ales, operația propriu-zisă de transformare a logicii umane sub forma unei variabile de tip fuzzy poartă numele de fuzzificare. Prin acest procedeu se realizează funcțiile de apartenență prezente în Figuria 2.1.1 pentru a determina gradul de apartenență al măsurii alese. Astfel, prin alegerea oricărei valori din interval, este posibilă determinarea corelării acestora între două mărimi date de unde se observă conform ecuației (2.1.2).

$$U_M(x) + U_L(x) = 1 \quad (2.1.2)$$

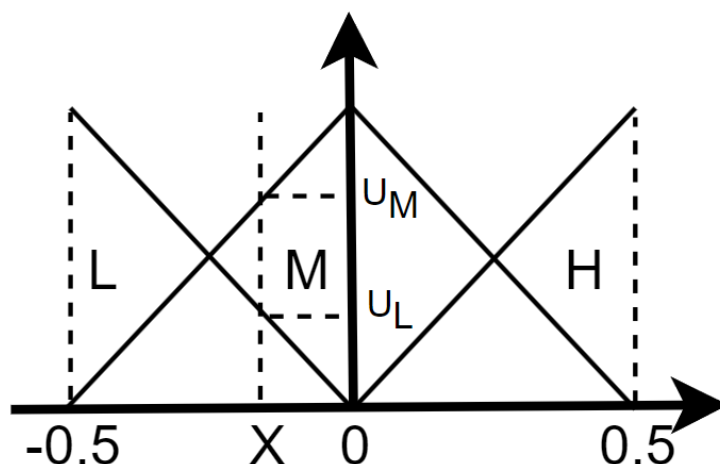


Figura 2.1.1. Funcții de apartenență

În urma fuzzificării, scopul final este de a transforma rezultatele obținute în valori crisp[6], care reprezintă opusul unei valori fuzzy în sensul că o astfel de valoare conține un număr exact sau o stare clar definită. În esență, o valoare exactă precum 10 grade Celsius este o valoare de tip crisp iar „low” este o valoare neclară care poate fi interpretată diferit. Astfel, metoda inversă folosită pentru a realiza această conversie poartă numele de defuzzificare. Pentru a realiza acest procedeu se pot utiliza diferite metode de defuzzificare[7] iar în această lucrare se sugerează utilizarea Metodei Centrului de Greutate (MCG) deoarece aduce numeroase avantaje: este o metodă simplă de implementat fiindcă nu necesită calcule complexe, beneficiază de robustețe prin faptul că sistemul nu este afectat ușor de zgomotul produs în datele de intrare și este o metodă eficientă din punct de vedere computațional. Se menționează că nicio metodă nu este ideală iar alegerea acesteia depinde de avantajele și limitările fiecărui sistem, însă utilizarea metodei MCG este justificată în această lucrare datorită simplității și a utilizării minime de resurse computaționale considerând că proiectul urmărește simularea unui control simplu de reglare a temperaturii într-o cameră. Astfel, se utilizează ecuația (2.1.3) unde  $x_i$  reprezintă valoarea nivelului fuzzy și  $u(x_i)$  este gradul de apartenență al acestei valori.

$$x = \frac{\sum_i x_i \cdot u_i(x_i)}{\sum_i u_i(x_i)} \quad (2.1.3)$$

Odată cu definirea conceptelor anterioare, se prezintă arhitectura generală a unui sistem de control fuzzy conform Figurii 2.1.2. După cum se poate observa, sistemul primește o valoare crisp la intrare care este fuzzificată pentru a putea fi utilizată de motorul de inferență[8], componenta care are scopul de a aplica regulile fuzzy asupra intrării cu scopul de a deduce informații noi. Logica pe care aceste motoare de referință le folosesc sunt în mod tipic reprezentate sub forma regulilor IF-THEN și sunt adesea folosite în domeniul inteligenței artificiale. În final, valoarea rezultată este defuzzificată prin utilizarea metodei MCG pentru a primi o ieșire de tip valoare crisp. Valoarea finală este apoi utilizată de centrală pentru a realiza cerințele impuse de regulator.

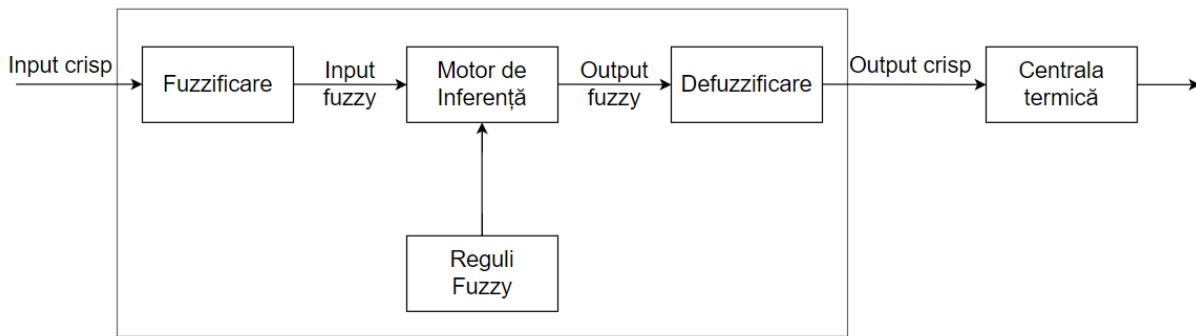


Figura 2.1.2. Arhitectura unui sistem de control de tip fuzzy

## 2.2 Rețele Petri

O rețea Petri [3][9] este un grafic conceput din două tipuri de componente, locații și tranziții, între care există arce de legătură. Scopul realizării unei astfel de rețele este de a reprezenta comportamentul sistemelor discrete distribuite. O locație, reprezentată grafic sub forma unui cerc, are rolul de a identifica disponibilitatea utilizării unei resurse care constă în apariția unei cantități de marcate, cunoscute și sub numele de jetoane, în interiorul acesteia. Tranzițiile, redată sub formă dreptunghiulară, au obiectivul de a reprezenta acțiunile ce modifică starea curentă a sistemului. O astfel de tranziție poate fi activată doar în momentul în care locațiile acesteia de intrare au numărul necesar de jetoane corespunzător cu costul de transport al arcelor. Arcele sunt căile de transport ale jetoanelor între locații și tranziții iar acestea conțin un număr care semnifică costul transportului dintre cele două tipuri de elemente menționate anterior. În Figura 2.2.1 se poate observa un exemplu al folosirii elementelor unei rețele.

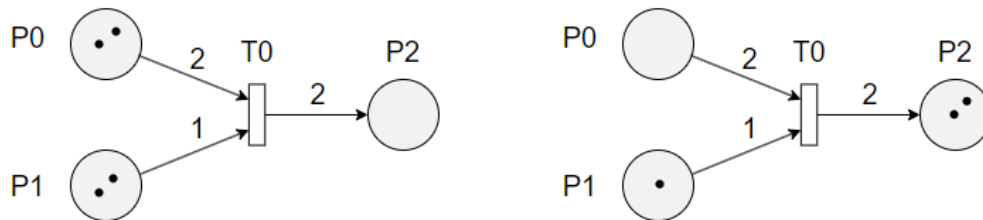


Figura 2.2.1. Exemplu de rețea Petri

Astfel o rețea Petri simplă poate fi definită sub forma ecuației (2.2.1) conform căreia  $P$  reprezintă o mulțime a locațiilor,  $T$  este mulțimea tranzițiilor, matricile  $pre$  și  $post$  semnalează existența arcelor cu costul aferent între o locație și o tranziție, respectiv între o tranziție și o locație iar  $M$  este un vector care arată numărul de jetoane din fiecare poziție.

$$PN = (P, T, pre, post, M) \quad (2.2.1)$$

O rețea Petri avansată în timp este o extensie a conceptului de rețele Petri standard deoarece conține caracteristici adiționale pentru a putea modela și analiza sisteme mult mai complexe. În literatură acest concept este cunoscut sub numele de Enhanced Time Petri Nets (ETPN) iar diferențele comparativ cu rețelele simple se pot observa din definiția (2.2.2) unde  $D$  reprezintă un set de valori naturale care marchează întârzierile care pot fi impuse pe tranziții.

$$PN = (P, T, pre, post, D, I, O, M) \quad (2.2.2)$$

Acest lucru înseamnă că fiecare tranziție  $t_i$  poate fi întârziată cu o unitate de timp  $d_i$ , caracteristică care permite implementarea unui sistem hibrid[10] deoarece în lucrarea curentă apare necesitatea de a utiliza un sistem care are atât elemente discrete cu privire la transmiterea de semnale de comandă, cât și evenimente continue precum reglarea temperaturii care este dependentă de timp. Seturile de mulțimi  $I$  și  $O$  reprezintă seturile de locații de intrare, respectiv de ieșire care sunt diferite față de locațiile normale prin faptul că se așteaptă după o serie de evenimente, cum ar fi un eveniment care are loc în centrală.

O rețea ETPN capabilă să proceseze informație fuzzy poartă numele de Fuzzy Logic Enhanced Time Petri Net(FLETPN)[3][11]. Utilizarea acestor rețele provine din nevoia de a implementa sisteme hibrid, mai mult de atât, sistemul trebuie să fie capabil să răspundă la semnale asincrone cât și sincrone pentru a putea reacționa la evenimentele discrete sau la modificările apărute la nivelul centralei termice. Conform definiției date de relația (2.2.3), o rețea FLETPN conține în plus următoarele elemente: coeficientul de greutate  $W$  aferent arcelor are rolul de a indica importanța regulii fuzzy,  $X$  este un set de variabile în domeniul real,  $FS$  este setul fuzzy,  $FLRS$  sunt regulile fuzzy, componenta  $Exp$  are rolul de a atribui fiecărei tranziții o expresie logică iar  $\alpha, \beta, \gamma$  au rolul de a mapa diferite tipuri de variabile.

$$FLETPN = (P, T, pre, post, D, W, X, FS, FLRS, Exp, \alpha, \beta, \gamma, M) \quad (2.2.3)$$

În Figura 2.2.2 se află un model de rețea FLETPN care conține următoarele elemente noi în comparație cu o rețea Petri simplă: locații de intrare care reprezintă o valoare primită de la centrală, tranziții precum  $T0$  și  $T1$  care conțin o regulă fuzzy, tranziția  $T2$  este o tranziție întârziată cu un interval de timp și tranziția de ieșire care are rolul de a trimite o comandă mai departe în sistem. Pe arcul dintre locația  $P5$  și tranziția de ieșire se poate observa o valoare care reprezintă coeficientul de greutate, pe restul arcelor dacă nu este specificat atunci fiecare arc are implicit valoarea 1.

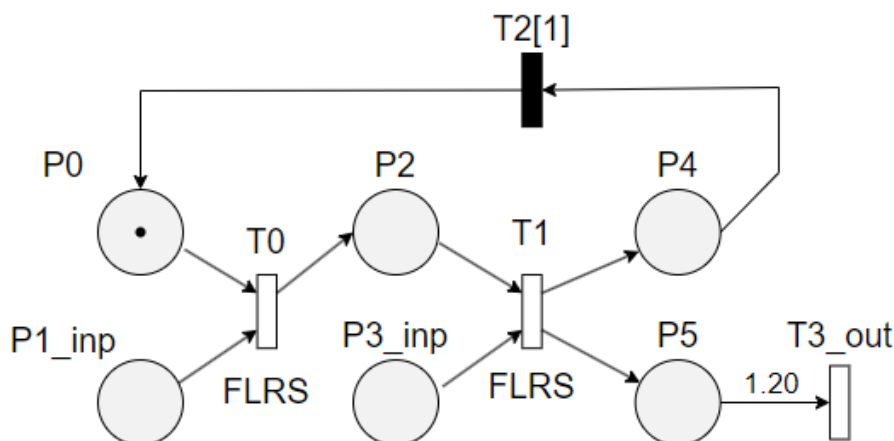


Figura 2.2.2. Exemplu de rețea FLETPN

## **2.3 Procese termice**

Procesul termic reprezintă un fenomen fizic care semnalează transferul de căldură dintre două medii sau sisteme diferite. În contextul economic și climatic actual se urmărește analizarea și implementarea unor sisteme cât mai eficiente pentru a reduce semnificativ consumul de energie. Printre cele mai întâlnite sisteme de încălzire în Europa se află Centralele Electrice de Termoficare(CET)[12] care asigură transportul și distribuția energiei termice în special în mediile urbane deoarece acolo există clădiri cu o densitate ridicată de locuitori. Alte alternative individuale constau în sisteme de încălzire prin arderea unor combustibili solizi precum lemnul, încălzirea cu gaze sau cu încălzire electrică [13]. În ultimii ani au apărut strategii de eficientizare a consumului precum boilere de condensare[14] care preiau vaporii de apă care în mod normal ar fi degajați în mediu și îi reutilizează pentru a putea să îi transforme în căldură. Cu toate acestea, aceste sisteme nu au capacitatea de a lua în calcul diferiți factori externi precum scăderile bruște de temperatură sau frecvența utilizării geamurilor și ușilor dintr-o încăpere.

La nivelul acestei lucrări se utilizează adesea procesul de histereză. Histereza este un fenomen cu caracter ireversibil care spune că un comportament al unui sistem nu depinde doar de stare anterioară, ci depinde și de stările precedente pe care sistemul le suferă. Această funcție de histereză este regăsită în majoritatea termostadelor[15], cât și în diferite sisteme de climatizare cu aer condiționat. Avantajul principal pe care îl prezintă acest fenomen este acela că, prin ajustarea setărilor unui termostat, se poate maximiza eficiența energetică. Regulatele care reproduc fenomenul de histereză se numesc regulate bipoziționale[16]. Acestea sunt folosite deoarece : când se ajunge la valoarea temperaturii dorită plus specificația de histereză(de exemplu 0.5 grade Celsius) atunci reglarea se oprește, când se ajunge la valoarea temperaturii dorite minus specificația de histereză centrala porneste din nou. Acest lucru este de dorit fiindcă o funcționare neîncetată a centralei sau pornirea și oprirea acesteia cu o frecvență ridicată poate duce nu doar la creșterea consumului, dar poate duce și la uzarea echipamentelor.

Astfel un sistem de reglare al temperaturi implementat cu rețele FLETPN[17] este ales pentru a fi implementat în această lucrare deoarece acesta asigură o eficiență energetică ridicată prin ajustarea dinamică a temperaturii cu ajutorul logicii fuzzy. Totodată, capacitatea de rejectare a perturbațiilor externe și posibilitatea de integrare cu alte sisteme de gestionare a clădirilor justifică importanța dezvoltării unui astfel de sistem.

## **2.4 Sisteme distribuite**

Sistemele distribuite[18] acordă capacitatea de a gestiona și implementa sisteme complexe, prin divizarea obiectivelor și a resurselor pentru a facilita și îmbunătăți funcționarea lor. Avantajul principal pe care îl prezintă un astfel de sistem este posibilitatea de a reduce nivelul de complexitate, prevenind astfel apariția defectelor și permițând ca serviciul oferit să funcționeze în continuare în ciuda unei defecțiuni la nivel local.

Apariția acestui tip de sistem a apărut odată cu necesitatea de a descentraliza sisteme cu capacități computaționale ridicate pentru a gestiona provocările aduse de un sistem centralizat complex, mai exact gestionarea resurselor computaționale și asigurarea unui timp de răspuns rapid, care poate prezenta o importanță crucială în diferite domenii[19]. Prin împărțirea sarcinilor și resurselor între mai multe componente sau noduri, sistemele distribuite permit o mai mare flexibilitate. deoarece sistemul poate crește în dimensiune și capacitate fără a fi necesară o revizuire completă a arhitecturii sau a infrastructurii.

Pe lângă aspectele tehnice, sistemele distribuite se bazează pe principii de descentralizare care permit nodurilor să opereze independent prin luare unor decizii locale în funcție de nevoile specifice. Această abordare contribuie la reducerea dependenței de un singur nod și asigură astfel o robustețe ridicată a sistemului.

### 2.4.1 Arhitectura client-server

Arhitectura client-server[20] este cel mai comun mod de proiectare a unei aplicații și este alcătuit din două elemente esențiale, mai exact clientul și serverul. Clientul este componenta care inițiază cereri cu scopul de a accesa o serie de servicii sau resurse disponibile din incinta serverului. Serverul este componenta care se ocupă de procesarea cererilor primite de la clienți și transmite înapoi resursele cerute, procedeu care poate fi vizualizat în Figura 2.4.1.

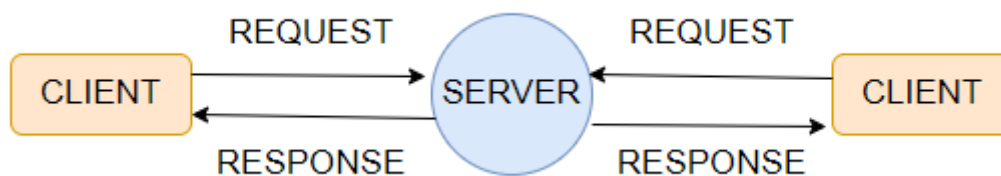


Figura 2.4.1. Arhitectura client-server

Acest tip de arhitectură este folosit deoarece aduce următoarele avantaje[21]:

- Clientul și serverul pot fi implementați pe dispozitive diferite pentru a aduce o flexibilitate mai mare proiectului
- Prin faptul că sunt două elemente diferite, acestea nu necesită cunoașterea detaliilor de implementare interne ale fiecăruia fiindcă interacțiunea dintre componente are loc prin intermediul unor protocoale
- Utilizare unei astfel de arhitecturi permite extinderea ulterioară prin adăugarea mai multor clienți sau server în funcție de noile cerințe ale proiectului
- Poate aduce un nivel de securitate în plus prin crearea unei metode de autentificare pentru a se realiza conexiunea între client și server

## 2.5 Principii OOP

Aplicația este realizată cu ajutorul limbajului Java care se bazează pe principiile Object Oriented Programming(OOP)[22]. Aceste principii sunt utilizate la nivel de

implementare a aplicațiilor deoarece prin acest mod de gândire se realizează organizarea codului în așa fel încât se permite reutilizarea acestuia cât mai ușor. Totodată, prin realizarea unui program care conține obiecte ce interacționează utilizatorul, urmărirea acestor principii permite ca proiectul să fie realizat eficient și să fie ușor de înțeles.

Primul principiu care stă la baza OOP îl reprezintă abstractizarea. Acest proces permite ascunderea unor detalii din interiorul unei clase care nu sunt relevante. Principiul este foarte important la nivelul unei echipe deoarece dacă un programator primește o anumită cerință, restul echipei nu este interesată de modul de creare a noii funcționalități, ci doar de folosirea acesteia.

Al doilea principiu îl prezintă încapsularea, proces care permite ascunderea datelor și funcțiilor față de mediul exterior. La nivelul atributelor și funcțiilor există astfel diferite tipuri de modificatori: public permite accesarea de oriunde, protected permite accesarea metodei/atributului din interiorul clasei principale și al claselor derivate din aceasta și modificatorul private semnifică faptul că proprietatea sau metoda este accesibilă doar în interiorul clasei.

Moștenirea este principiul care îi permite unei clase să extindă funcționalitatea unei clase de bază prin utilizarea proprietăților acesteia. Astfel, o clasă derivată devine în consecință mai complexă prin faptul că poate aduce attribute și metode noi care extind comportamentul. Prin utilizarea acestui principiu, se permite menținerea clasei de bază fără ca aceasta să fie modificată, lucru care poate fi necesar în diferite situații la nivelul unui proiect.

Ultimul principiu din listă este polimorfismul. Prin acesta se realizează procesul prin care se crează mai multe copii ale aceleași metode, dar cu funcționalități diferite. În limbajul Java există două tipuri de polimorfism: static și dinamic. Polimorfismul static este cunoscut sub numele de supraîncărcare a metodelor și are loc în momentul compilării. Această supraîncărcare permite existența a două metode cu același nume, dar cu parametrii diferiți. Polimorfismul dinamic are loc în momentul rulării programului și poartă numele de suprascriere a metodelor. În acest caz, numele clasei suprascrise trebuie să fie același, totodată, numărul și tipul parametrilor este la fel.

## **2.6 Design patterns**

La nivelul ingineriei software, un design pattern(șablon de proiectare) este o soluție care poate fi reprodusă pentru rezolva diferite probleme ce pot apărea la nivelul realizării unei aplicații[23]. Aceste pattern-uri nu reprezintă o secvență de cod fixă ci mai exact descrie un șablon care ajută la rezolvarea problemei. La nivelul acestei aplicații se folosesc următoarele două tipuri de șabloane: client-server și factory.

Un pattern de tip client-server[24] are rolul de a despărți cele două componente pentru a putea trata separat partea de distribuire a datelor(preluată de server) față de interacțiunile utilizatorilor(realizate la nivel de client). Acest tip de șablon este adesea întâlnit la nivelul sistemelor distribuite deoarece avantajul principal este că permite unui număr mai mare de clienți să interacționeze simultan cu serverul prin transmiterea unor cereri de date. Șablonul client-server prezintă însă și diferite dezavantaje precum:



necesitatea realizării unui management de comunicare complex între clienți cu serverul și conectarea unui număr foarte mare de clienți simultan poate crește mult timpul de răspuns al serverului.

Totodată, la nivelul acestei lucrări se utilizează și pattern-ul cunoscut sub numele de factory method[25]. Acest șablon are rolul de a furniza o interfață pentru a crea obiecte într-o superclasă, cu mențiunea că acesta le permite subclaselor să modifice tipul obiectelor care sunt create. Acest design este folosit ulterior în aplicație pentru a crea un client handler unic pentru regulatorul care se dorește a fi creat, această implementare este necesară deoarece fiecare regulator comunică diferit cu modelul plantului

### 3 Analiză, proiectare, implementare

În capitolul curent se urmărește prezentarea lucrării de la analizarea nevoii de a crea un sistem eficient pentru reglarea temperaturii într-o încăpere până la implementarea propriu zisă a acestui sistem prin detalierea pașilor care duc la dezvoltarea aplicației. Proiectul curent este o aplicație demonstrativă care realizează controlul termic asupra unui model de cameră prin utilizarea rețelelor FLETPN pentru modelarea reglatoarelor cu scopul de a spori gradul de eficiență al consumului și de a permite sistemului să poată reacționa și rejecta factori externi.

Scopul realizării acestui sistem provine din necesitatea de a găsi alternative pentru a reduce consumul de agent termic în contextul în care resursele planetei sunt limitate și în urma conflictelor actuale dintre state, s-a pus o tensiune asupra resurselor globale de energie. În consecință, costul de încălzire a unei locuințe a crescut în mod semnificativ în ultimii ani, fapt ce justifică necesitatea de a aduce inovații în industrie. Totodată, resursele de gaz consumate pentru încălzirea locuințelor pot fi relocate astfel la nivel global către dezvoltare spre alte domenii de interes uman.

Obiectivele luate în calcul în privința realizării unui astfel de tip de sistem sunt următoarele:

- realizarea unui sistem eficient de control termic prin evaluarea performanțelor obținute în urma testării
- posibilitatea de a menține temperatura dorită pe parcursul unui întreg an calendaristic prin adăugarea unui sistem de încălzire a apei cât și prin implementarea unui aer condiționat care să poată compensa la nevoie creșterea temperaturii dar și să poată reduce temperatura din încăpere pe parcursul perioadelor calde de vreme
- existența multiplelor componente duce la nevoia de distribuire a sistemului pentru a putea realiza o simplificare a proiectului și pentru a permite doar utilizarea reglatoarelor dorite în funcție de nevoile curente
- crearea unei interfețe grafice pentru a permite controlul asupra centralei cu componentele conexe și monitorizarea performanțelor

Lucrarea este realizată în mediul de dezvoltare IntelliJ IDEA care permite crearea de software prin limbaj scris în Java. Adicional, pentru a putea desena urmări comportamentul reglatoarelor realizate cu logică fuzzy, se utilizează un vizualizator și executor[26] care este folosit în scopuri academice pentru a putea defini structura unei rețele Petri împreună cu tabelele de reguli fuzzy incluse în tranziții. Acesta permite observarea comportamentului rețelelor și interacționarea cu acestea prin intermediul unei interfețe grafice. Pentru realizarea unei interfețe grafice cu care să interacționeze utilizatorul se folosește Java Swing din mediul de dezvoltare ales. Reprezentările grafice prezente în lucrare sunt realizate cu ajutorul a diferite medii precum Pipe pentru realizare unor rețele Petri sau alte instrumente online.

### 3.1 Arhitectura aplicației

Pentru a realiza proiectarea se consideră o cameră care poate fi încălzită de un boiler de apă caldă sau poate fi răcită prin utilizarea unui aer condiționat. Cele două componente trebuie să asigure temperatura dorită din încăperea prin luarea în calcul al factorilor externi precum temperatura de afară. Arhitectura sistemului este modelată în Figura 3.1.1 pentru a vizualiza mai ușor componentele și pentru a observa care sunt intrările și ieșirile aferente.

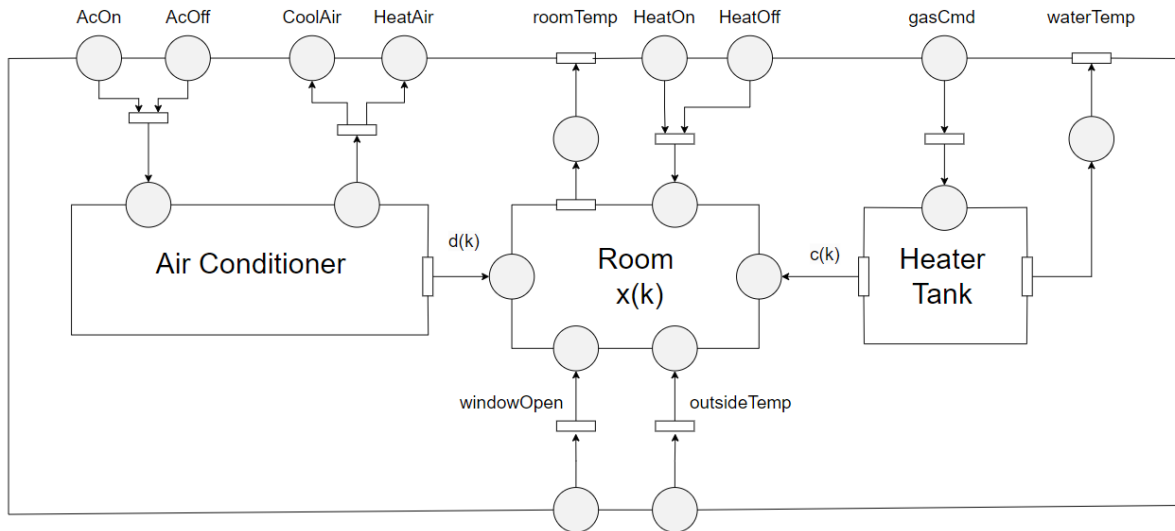


Figura 3.1.1. Diagrama componentelor cu sistemele de reglare

Componenta *Room* are rolul de a modela temperatura din cameră și este definită de următoarele porturi de intrare: *outsideTemp* indică temperatura de afară și *windowOpen* semnalează dacă o fereastră este deschisă, ambele intrări pot fi considerate ca fiind perturbații externe. Totodată, mai există două intrări,  $c(k)$  și  $d(k)$  care reprezintă căldura dată de boiler, respectiv temperatura asigurată de aerul condiționat. Ieșirea acestei componente este reprezentată de portul *roomTemp* care modelează temperatura sistemului. În urma analizării intrărilor și ieșirilor se poate crea modelul matematic pentru componenta *Room* care este dat de ecuația de stare (3.1.1).

$$t(k+1) = a * t(k) + b * c(k) + e * d(k) + f_1 * p(k) + f_2 * p(k) \quad (3.1.1)$$

Elementul rezultat  $t(k+1)$  reprezintă temperatura la următorul moment de timp și este afectată de temperatura  $t(k)$  la momentul curent, căldura oferită de boilerul de apă  $c(k)$ , temperatura aerului furnizată de aerul condiționat  $d(k)$  și cele două perturbații  $f_1 * p(k)$ , respectiv  $f_2 * p(k)$ , sunt afectate de temperatura externă  $p(k)$ , unde prima perturbație este dată de deschiderea ferestrei și a doua este dată de răcirea prin pereții camerei. În ceea ce privește  $a$ ,  $b$ ,  $e$ ,  $f_1$  și  $f_2$ , aceștia reprezintă coeficienții fiecărui element menționat anterior. Intrarea *HeatOn/HeatOff* are rolul de a informa dacă boilerul este pornit sau oprit.

Componenta *HeaterTank* este boilerul care are rolul de a asigura o temperatură dată a apei pentru a o trimite prin sistemul de încălzire ca să asigure temperatura dorită în încăperea. Intrarea *gasCmd* specifică cât de tare este pornit debitul de gaz și ieșirile sunt  $c(k)$  care reprezintă căldura dată în cameră, respectiv *waterTemp* care are rolul de a

ajusta temperatura apei care este mai apoi circulată prin sistem. Reacția de stare a componentei este prezentată în ecuația (3.1.2), unde  $t_a(k+1)$  este temperatura apei la momentul următor,  $t_a(k)$  temperatura apei la momentul curent,  $g(k)$  reprezintă comanda de gaz și  $p_1(k)$  este o perturbația care ia în considerare faptul că transmiterea apei prin țevi poate duce la o scădere mică de temperatură. În mod similar componentei anterioare,  $a_1$ ,  $b_1$  și  $c_1$  sunt coeficienții aferenți fiecărui element.

$$t_a(k+1) = a_1 * t_a(k) + b_1 * g(k) + c_1 * p_1(k) \quad (3.1.2)$$

Componenta *AirConditioner* este aerul condiționat care în funcție de temperatura din încăpere asigură aer rece sau cald pentru a asigura temperatura dorită. Porturile de comandă ale acestei componente sunt: *AcOn/AcOff* care are rolul de a porni sau opri aerul condiționat și *CoolAir/HeatAir* decide dacă aerul eliberat în cameră este rece sau cald. Portul de ieșire  $d(k)$  este temperatura pe care aerul condiționat o aplică asupra camerei. Ecuația de stare (3.1.3) descrie comportamentul componentei *AirConditioner*, unde  $t_c(k+1)$  este temperatura aerului la momentul următor,  $t_c(k)$  reprezintă temperatura aerului la momentul curent și  $t_d(k)$  este diferența de temperatură dintre minimul, respectiv maximum de temperatură și temperatura asigurată la momentul curent în cameră. În ecuație sunt prezenți și doi coeficienți  $a_2$  și  $b_2$  care modifică influența elementelor prezentate anterior.

$$t_c(k+1) = a_2 * t_c(k) + b_2 * t_d(k) \quad (3.1.3)$$

Pentru a putea controla cele trei componente prezente în sistem, este nevoie de crearea unui regulator pentru fiecare: Room Temperature Controller(RTC) pentru componenta Room, Heater Tank Controller(HTC) pentru boiler și Air Conditioner Controller(ACC) pentru aerul condiționat. Conform Figurii 3.1.2 prezente mai jos, componenta RTC menține temperatura cât mai aproape de referința *roomTempRef* acordată de către actor, componenta HTC asigură încălzirea apei până la temperatura dorită și ACC oferă temperatura aerului eliberat astfel încât să se ajungă la valoarea dorită.

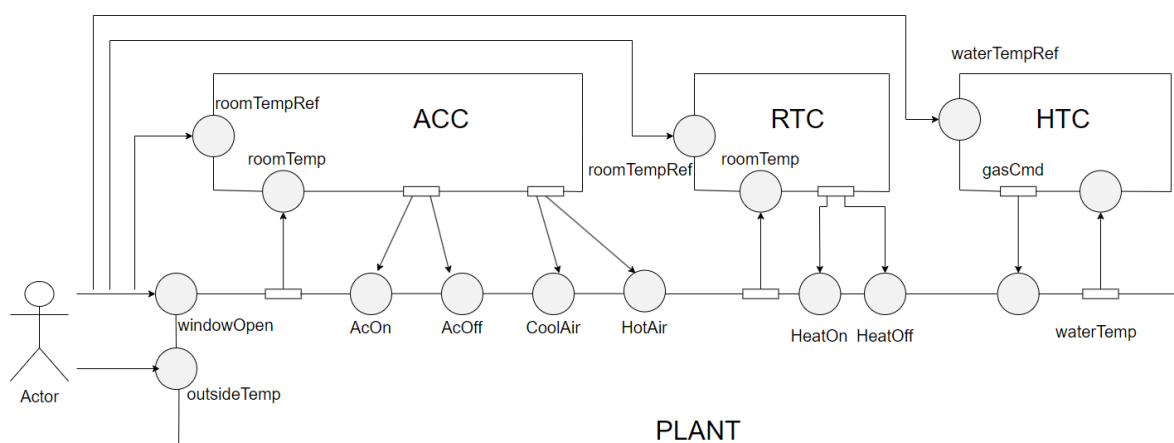


Figura 3.1.2. Diagrama de reglare a sistemului

În mod similar cu diagrama componentelor, regulatoarele au porturile de intrare și ieșire similare pentru a putea realiza controlul adecvat al fiecărei componente din

sistemul de Plant. În continuare se explică realizarea fiecărui controller prin rețeaua Petri aferentă.

### 3.1.1 Componenta RTC

În figura 3.1.3 este realizat modelul Petri al regulatorului de temperatură al camerei RTC, unde fiecare locație și tranziție au o anumită semnificație:

- P1\_inp și P3\_inp sunt locațiile de intrare care primesc valoarea de referință a temperaturii din cameră *roomTempRef*, respectiv valoarea curentă *roomTemp*
- T0 are rolul de a citi valoarea referinței pentru a o stoca în locația P2
- T1 realizează diferența dintre valoare de referință și valoarea curentă a temperaturii pentru a calcula eroarea
- T2 este o tranziție cu întârziere de un tact și are ca scop reluarea ciclului
- T3 este un comparator care analizează dacă eroarea calculată anterior este NL, caz în care se introduce un jeton în locația P6, în caz contrar când eroarea este PL se adaugă un jeton în locația P7, acest fenomen are ca scop crearea unui proces de histereză prin pornirea încălzirii în momentul în care temperatura atinge pragul de  $roomTempRef+E$  și oprirea acesteia când temperatura ajunge la valoarea  $roomTempRef-E$ , unde E reprezintă valoarea ponderii arcului dintre locația P5 și T3

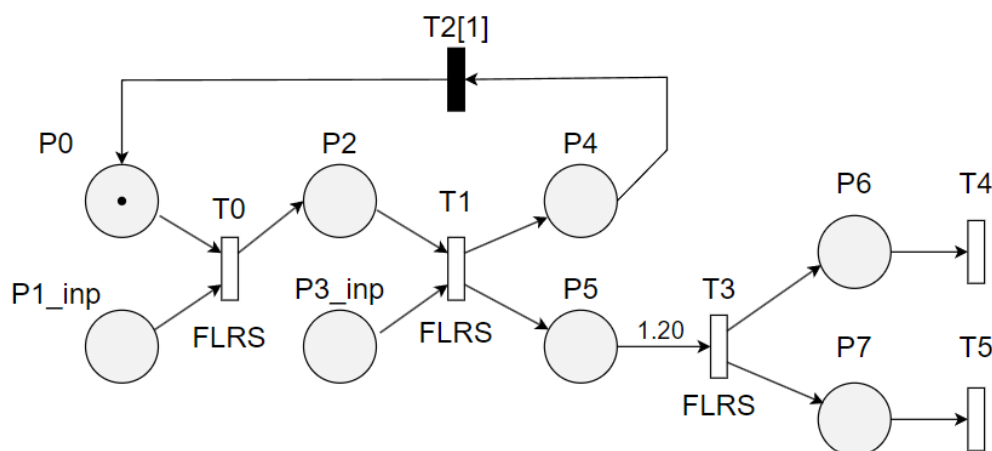


Figura 3.1.3. Componenta RTC: regulatorul temperaturii camerei

În cele ce urmează se prezintă regulile fuzzy prezente în tranzițiile din figura de mai sus. Pentru a putea realiza un tabel de reguli, este necesară determinarea numărului de intrări și ieșiri ale acțiunii, pentru ca mai apoi să se modeleze comportamentul dorit. Pe parcursul întregii lucrări se încearcă utilizarea a maxim 2 intrări și 2 ieșiri pe tranziție pentru ca implementarea să fie mai simplă deoarece pentru o singură intrare tabelul de reguli este un vector linie, pentru 2 intrări se creează un tabel iar pentru 3 sau mai multe intrări este necesară reprezentarea în spațiu a regulii respective. Pe parcursul acestei lucrări, regulatoarele prezente utilizează unele tranziții în mod similar, fapt pentru care cele care se repetă sunt explicate o singură dată, după care se va realiza o simplă referire ulterioară a acestora.

Asfel că, în tranziția T0 se află 2 intrări, fapt ce semnifică că se realizează Tabelul 3.1.1 cu o singură ieșire. Scopul acestei tranziții este acela de a citi valoarea introdusă din locațiile anterioare, fapt pentru care se începe prin a marca tabelul cu variabilele fuzzy din mulțimea  $FS = \{NL, NM, ZR, PM, PL\}$  atât pe linii cât și pe coloane. Completarea regulii este simplă în acest caz deoarece se dorește ca variabila de ieșire să reprezinte valoarea dată la intrare care este marcată pe coloană. De exemplu, dacă se dorește citirea valorii ZR, atunci întreaga coloană a tabelului se marchează cu valoarea cerută.

*Tabelul 3.1.1 Regula Fuzzy pentru tranziția T0 de citire a valorii*

Cititor valori	NL	NM	ZR	PM	PL
NL	NL	NM	ZR	PM	PL
NM	NL	NM	ZR	PM	PL
ZR	NL	NM	ZR	PM	PL
PM	NL	NM	ZR	PM	PL
PL	NL	NM	ZR	PM	PL

Tranziția T1 prezintă două intrări cu două ieșiri și aceasta realizează diferența dintre valoarea temperaturii de referință cu temperatura curentă din cameră pentru a calcula eroarea care este trimisă mai departe pe ieșiri. În acest caz, forma corespunzătoare a regulii este prezentată în Tabelul 3.1.2 care descrie comportamentul de diferențiator al tranziției T1. Pe liniile și coloanele tabelului s-au marcat valorile corespunzătoare fiecărei variabile fuzzy din mulțimea FS pentru a observa cu mai multă ușurință procedeul de calcul al ieșirilor.

*Tabelul 3.1.2 Regula Fuzzy pentru tranziția T1 de diferențiere a intrărilor*

Diferențiator $x_1/x_2$	NL=-1	NM=-0.5	ZR=0	PM=0.5	PL=1
NL=-1	<ZR,ZR>	<NM,NM>	<NL,NL>	<NL,NL>	<NL,NL>
NM=-0.5	<PM,PM>	<ZR,ZR>	<NM,NM>	<NL,NL>	<NL,NL>
ZR=0	<PL,PL>	<PM,PM>	<ZR,ZR>	<NM,NM>	<NL,NL>
PM=0.5	<PL,PL>	<PL,PL>	<PM,PM>	<ZR,ZR>	<NM,NM>
PL=1	<PL,PL>	<PL,PL>	<PL,PL>	<PM,PM>	<ZR,ZR>

Pentru a înțelege modalitatea de calcul se reia în vizor funcția de fuzzificare din Figura 3.1.4 care arată că fiecare variabilă fuzzy este aferentă cu o valoare din intervalul  $[-1,1]$ , astfel că procedeul de marcare a variabilelor este următorul: NL=-1, NM=-0.5 și analog pentru restul variabilelor. Astfel pentru a realiza diferența, se consideră cele două intrări  $x_1$  pe linie, respectiv  $x_2$  pe coloană și se calculează diferența  $d=x_1-x_2$ . De exemplu, pentru linia 4, coloana 5 rezultatul este NM deoarece  $x_1-x_2=PM-PL=0.5-1=-0.5$  care reprezintă variabila Negative Medium. Motivul pentru care ambele variabile de

ieșire prezintă același rezultat la diferență este pentru că această eroare este utilizată ulterior din locațiile P4, respectiv P5.

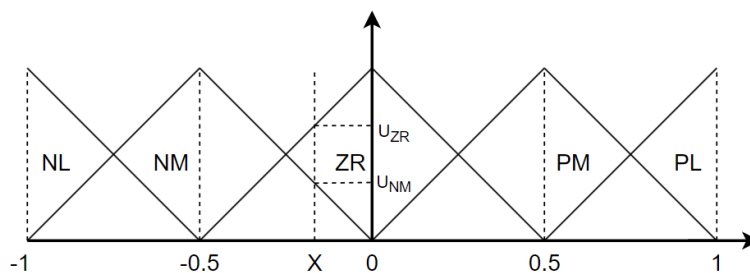


Figura 3.1.4. Funcția de fuzzificare

Tranziția T2 este singura din rețeaua Petri a regulatorului care are un tact de întârziere. Rolul acestei tranziții este a transmite eroarea calculată din P4 în P0 pentru a relua ciclul de reglare atât timp cât nu s-a ajuns la valoarea dorită. Crearea unui tabel pentru această tranziție este asigurat de utilitarul FuzzPVisual[20], iar tranziția are tabelul realizat sub forma unei linii deoarece aceasta prezintă o intrare și o ieșire.

Scopul tranziției T3 este acela de a realiza procedeul de histereză prin compararea intrării, care este eroarea, cu variabilele NL, respectiv PL. În funcție de rezultatul obținut, se injectează jeton fuzzy în una din cele două ieșiri. Tabelul 3.1.3 este regula pentru această acțiune are loc. Se menționează utilizarea la ieșire a unei variabile noi FF care are ca scop marcarea faptului că ieșirea în acel punct nu este relevantă pentru funcționalitatea dorită, acest lucru previne de altfel și acumularea de jetoane. Spre exemplu, dacă eroarea este NL, se introduce jeton fuzzy ZR pentru prima locație, iar dacă aceasta are valoarea PL; jetonul este introdus în cealaltă locație.

Tabelul 3.1.3 Regula Fuzzy pentru tranziția T3 cu rol de comparator

Comparator	NL	NM	ZR	PM	PL
Eroare	<FF,ZR>	<FF,FF>	<FF,FF>	<FF,FF>	<ZR,FF>

Ultimele două tranziții din schemă T4, respectiv T5 sunt tranziții de ieșire și au ca scop preluarea jetonului fuzzy și prezintă funcționalitatea de a porni, respectiv de a opri căldura la nivelul centralei termice.

### 3.1.2 Componenta HTC

În Figura 3.1.5 este realizat modelul Petri al regulatorului de reglare a temperaturii apei din boiler HTC, unde semnificația porturilor și tranzițiilor este:

- P1\_inp ia valoarea de referință a temperaturii apei *waterTempRef*
- T0 stochează referința în tranziția P2
- P3\_inp citește valoarea curentă a temperaturii apei din boiler *waterTemp*
- T1 este un diferențiator pe două canale care calculează eroarea la momentul curent dintre valoarea de referință și valoarea curentă  $err = waterTempRef - waterTemp$
- T3 este tranziția cu întârziere care are ca scop reluarea ciclului

- T4 este un sumator dintre valoarea curentă, respectiv valoarea anterioară a comenzii către boiler
- T2 reprezintă portul de ieșire pentru comanda de gaz
- T5 are rolul de a actualiza valoarea comenzii către boiler cu o unitate de timp

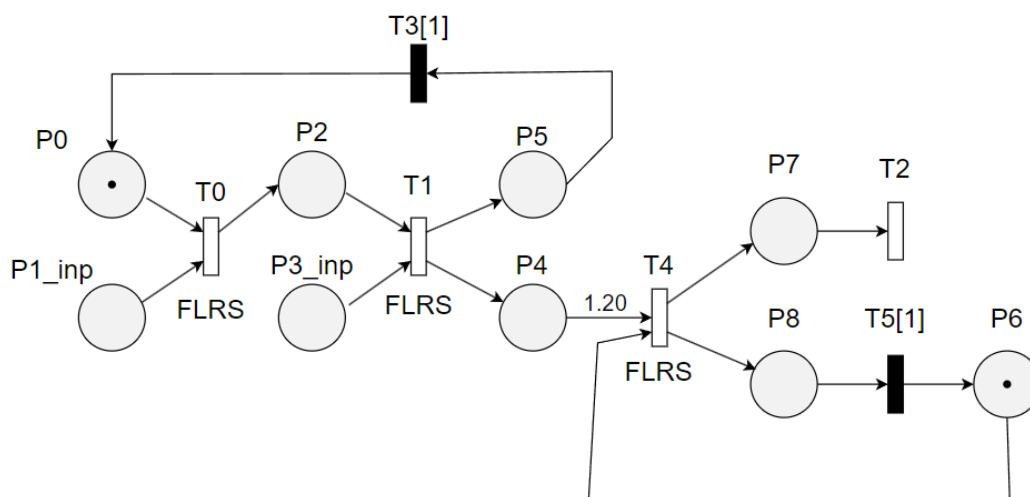


Figura 3.1.5. Componenta HTC: regulatorul apei din boiler

Tranzițiile T0, T1 și T3 au funcționalități similare cu tranziții prezentate anterior, fapt pentru care se face doar referire la acestea: T0 este cititorul din Tabelul 3.1.1, T1 este un diferențiator pe două canale conform Tabelului 3.1.2 și T3 este tranziția cu o intrare și o ieșire care asigură reluarea ciclului după o unitate de timp în mod similar cu tranziția T2 a regulatorului RTC. Totodată, tranziția T5 acționează în mod similar cu T3, deci singura tranziție nouă pentru care este necesară explicarea creerii unei reguli este tranziția T4.

Tranziția T4 prezintă două intrări cu două ieșiri și aceasta realizează suma dintre valoarea temperaturii de referință a apei cu temperatura curentă din boiler pentru a calcula eroarea care este trimisă mai departe pe ieșiri. În acest caz, forma corespunzătoare a regulii este prezentată în Tabelul 3.1.4 care descrie comportamentul de sumator al acestei tranziții.

Tabelul 3.1.4 Regula Fuzzy pentru tranziția T4 de însumare a intrărilor

Sumator $x_1/x_2$	NL=-1	NM=-0.5	ZR=0	PM=0.5	PL=1
NL=-1	<NL,NL>	<NL,NL>	<NL,NL>	<NM,NM>	<ZR,ZR>
NM=-0.5	<NL,NL>	<NL,NL>	<NM,NM>	<ZR,ZR>	<PM,PM>
ZR=0	<NL,NL>	<NM,NM>	<ZR,ZR>	<PM,PM>	<PL,PL>
PM=0.5	<NM,NM>	<ZR,ZR>	<PM,PM>	<PL,PL>	<PL,PL>
PL=1	<ZR,ZR>	<PM,PM>	<PL,PL>	<PL,PL>	<PL,PL>



Pentru a realiza operația de însumare, se consideră cele două intrări  $x_1$  pe linie, respectiv  $x_2$  pe coloană și se calculează suma  $s=x_1+x_2$ . De exemplu, pentru linia 4, coloana 1 rezultatul este NM deoarece  $x_1+x_2=PM+NL=0.5-1=-0.5$  care reprezintă variabila Negative Medium. Ambele variabile de ieșire prezintă același rezultat pentru că această eroare este utilizată ulterior din locațiile P7, respectiv P8.

### 3.1.3 Componenta ACC

În Figura 3.1.6 se observă rețeaua Petri care modelează regulatorul aerului condiționat ACC iar semnificația porturilor este următoarea:

- P1\_inp și P3\_inp sunt locațiile de intrare care primesc valoarea de referință a temperaturii din cameră *roomTempRef*, respectiv valoarea curentă *roomTemp*
- T0 are rolul de a citi valoarea referinței pentru a o stoca în locația P2
- T1 realizează diferența dintre valoare de referință și valoarea curentă a temperaturii pentru a calcula eroarea
- T2 este o tranziție cu întârziere de un tact și are ca scop reluarea ciclului
- T3 este un cititor care transmite eroarea mai departe în locațiile P6 și P7
- T4 este un comparator care analizează dacă eroarea calculată anterior este NL, caz în care se introduce un jeton în locația P6, în caz contrar când eroarea este PL se adaugă un jeton în locația P7 pentru a crea efectul de histereză
- T5 compară dacă eroarea dintre valoarea de referință și cea curentă este mai mare sau mai mică decât 0 pentru a putea determina dacă se dorește eliberarea de aer rece sau cald de la aerul condiționat
- T6 și T7 sunt tranzițiile de ieșire care acționează la pornirea și oprirea aerului condiționat
- T8 și T9 sunt tranziții de ieșire care setează dacă aerul eliberat este cald sau rece

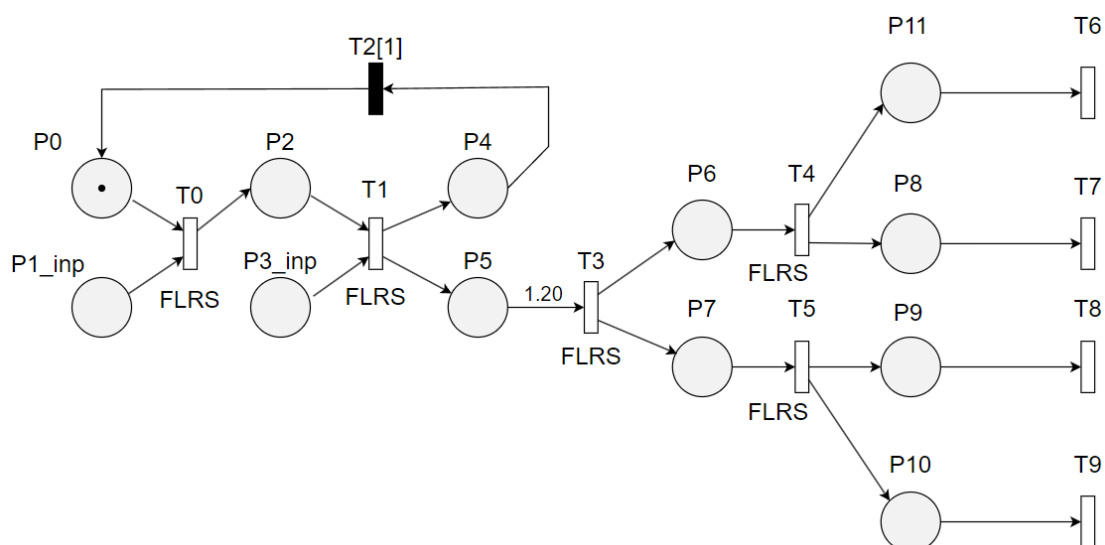


Figura 3.1.6. Componenta ACC: regulatorul aerului condiționat

În Tabelul 3.1.5 de mai jos se descrie comportamentul tranziției T5 care are ca scop introducerea unui jeton în P9 atunci când eroarea este pozitivă pentru a urma să atribuie comanda de aer rece și în caz contrar se injectează un jeton în P10 pentru a genera aer cald. După cum se poate observa, atunci când comanda este negativă se introduce pe prima intrare valoare PL pentru aer cald și când comanda este pozitivă pe intrarea a doua se pune valoarea NL, în rest avem FF.

Tabelul 3.2.5 Regula Fuzzy pentru tranziția T5 de setare aer cald sau rece

Comandă aer	NL	NM	ZR	PM	PL
Eroare	<PL,FF>	<PL,FF>	<FF,FF>	<FF,NL>	<FF,NL>

## 3.2 Conectarea serverului cu reglatoarele

La nivelul aplicației este prezentă clasa Server care are rolul de a gestiona prezența reglatoarelor modelate în sistem prin pornirea unei interfețe grafice cu care utilizatorul poate interacționa. În Figura 3.2.1 este realizată diagrama de activități care are rolul de a facilita observarea comportamentului aplicației bazat pe aspectele dinamice care au loc asupra sistemului.

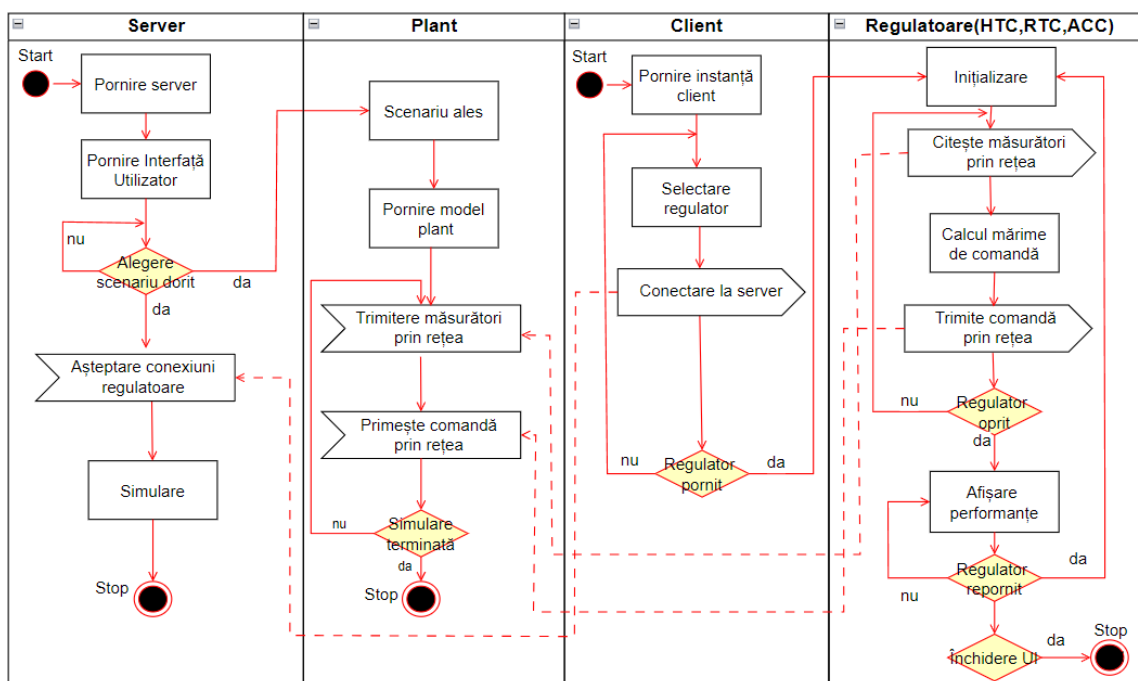


Figura 3.2.1. Diagrama de activități

În mod obișnuit, o acțiune este precedată de altă acțiune, fapt pentru care se urmărește comportamentul de la condiția de start și până la oprirea aplicației marcată de butonul de stop. După cum se poate observa în schema de mai sus, pornirea serverului este primul pas realizat deoarece în urma acestei acțiuni se deschide interfața grafică a serverului unde utilizatorul poate vedea ce conexiuni se realizează cu clienții. La nivelul acestei interfețe grafice este prezent un element care permite selectarea scenariului dorit pentru a putea porni componenta centralei Plant. Odată ce modelul

Plantului este pornit, în momentul în care regulatoarele se conectează, această componentă trimite măsurătorile prin rețea și primește comanda de la regulator. După alegerea scenariului, serverul așteaptă ca regulatoarele să se conecteze pentru a putea realiza ulterior simularea.

Pentru a putea conecta regulatoare care să acționeze asupra centralei se pornește componenta Client care pornește o altă interfață grafică. La nivelul acestei interfețe grafice se află o serie de butoane denumite conform fiecărui regulator care deschid alte ferestre separate în momentul acționării butoanelor, acestea sunt unice pentru fiecare regulator în parte. Odată ce regulatorul dorit este selectat, acesta se conectează la server.

În momentul alegerii de pornire a unui regulator, în prealabil se realizează o instanță de client pentru a putea realiza o comunicare cu serverul. Fiecare client conectat este pornit pe câte un fir de execuție pentru că fiecare regulator care se pornește are un comportament și un mod de comunicare diferit cu serverul. De exemplu, un regulator HTC trimite o comandă de tip valoare reală care reprezintă comanda de gaz, regulatorul RTC are un semnal de tipul adevărat sau fals care semnifică pornirea/oprirea regulatorului iar elementul ACC are două tipuri de comenzi, fapt pentru care se justifică necesitatea de a crea această instanță de client.

Pornirea unui regulator este urmată de inițializarea acestuia prin setarea valorilor de intrare dacă este nevoie, după care acesta își realizează bucla de reglare atât timp cât este pornit. În cazul în care utilizatorul decide oprirea regulatorului, se afișează performanțele finale. În cazul în care se dorește repornirea unui regulator, acest lucru este posibil, caz în care se reiau pașii de la setarea valorii până la afișare performanțelor. În cazul în care se dorește oprirea sistemului, acest lucru se poate realiza cu ușurință prin închiderea interfețelor de client și server.

### **3.3 Conectarea între două componente cu jeton fuzzy**

Pentru a se putea utiliza regulatoarele modelate de rețele FLETPN este nevoie ca valorile crisp să fie fuzzificate pentru ca acestea să poată fi interpretate și utilizate. Datorită acestui fapt, fiecare dintre cele 3 regulatoare prezintă în componenta clasei câte o funcție care se ocupă de fuzzificarea parametrilor care se află în locațiile de intrare a regulatoarelor. Astfel, pe parcursul traseului rețelei Petri se utilizează jetoane fuzzy care permit ca regulile fuzzy realizate și explicate în subcapitolul 3.1 să poată fi aplicate astfel încât să se respecte comportamentul dorit.

În constructorul regulatoarelor întrările sunt injectate cu un jeton fuzzy nul iar pe ieșiri se prezintă câte o funcție pentru fiecare tranziție de ieșire. Aceste funcții primesc ca parametru un element de tip FuzzyToken și au ca scop comunicarea cu centrala prin transmiterea comenzilor. Comanda dorită este trimisă mai departe la server prin intermediul socketului. La nivelul serverului se creează un obiect de tip ClientHandlerFactory care are rolul de a determina ce tip de regulator se conectează pentru a ști ce tip de client să creeze astfel încât să se poată realiza comunicarea corectă între server și regulatorul dorit.

Este necesară o comunicare diferită cu fiecare regulator deoarece acestea transmit comenzi diferite și de diferit tip: la ieșirea regulatorului RTC se transmite dacă boilerul este pornit sau oprit prin comanda true/false, la componenta HTC pe ieșire se trimite valoarea reală a comenzii de gaz iar la ACC se trimit două tipuri de comenzi care semnalează dacă regulatorul e oprit/pornit sau dacă aerul eliberat este cald/rece. Pentru a realiza decriptarea mesajului care este trimis ulterior ca și comandă la centrală se utilizează o funcție care preia mesajul de la client și îl interpretează. Acest procedeu de interpretare are loc în funcția run a fiecărei din cele 3 clase deoarece, atât timp cât socketul este conectat se dorește citirea continuă a comenzilor deoarece sistemul se modifică în timp real.

### 3.4 Structura aplicației

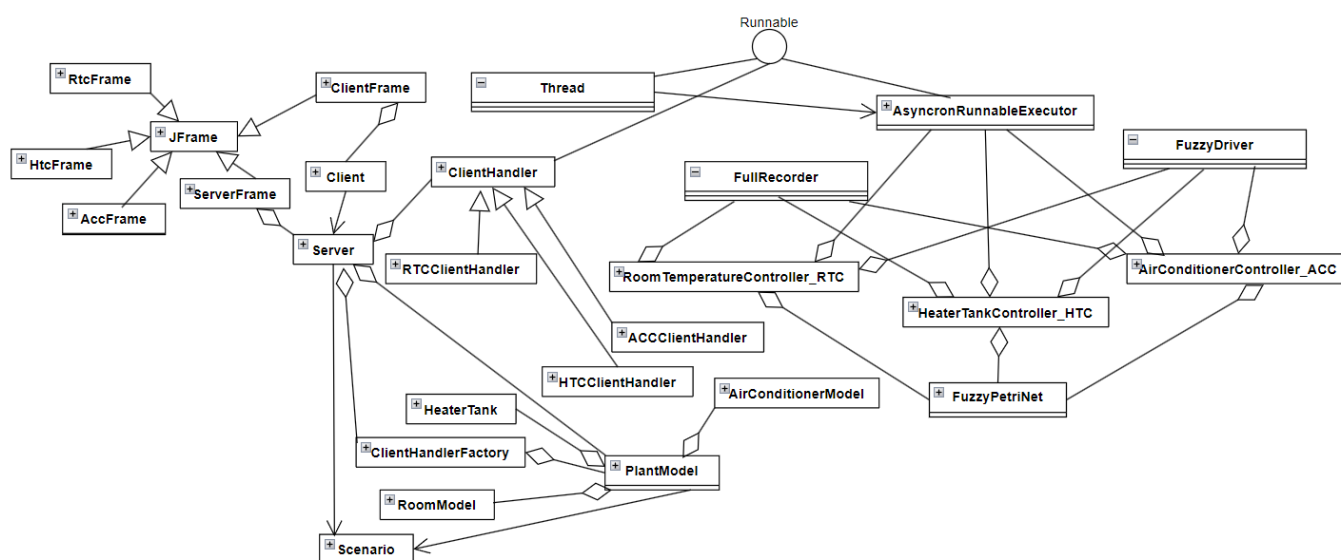


Figura 3.4.1. Diagrama de clase

În Figura 3.4.1 este prezentată diagrama simplificată de clase a lucrării. Aceste tipuri de diagrame reprezintă notații grafice care sunt folosite pentru a construi și vizualiza cu ușurință sisteme orientate pe obiect. Diagrama de clase este realizată sub o convenție cunoscută sub numele de UML (Unified Modeling Language)[27] și permite descrierea structurii prin definirea claselor cu atributele și metodele lor, cât și marcarea relațiilor dintre acestea. O clasă este un plan care permite realizarea de obiecte prin oferirea unor atribute care definesc acel obiect cât și prin implementarea unui set de metode care reprezintă acțiunile pe care un obiect le poate efectua. Tipurile de relații ce pot fi folosite în realizarea conexiunilor dintre clase sunt prezentate în Figura 3.4.2.

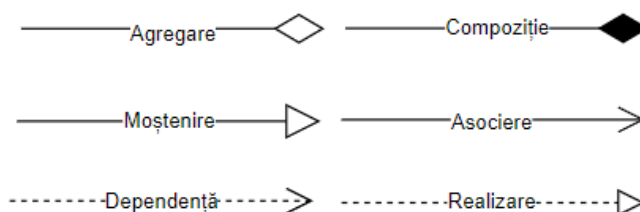


Figura 3.4.2. Tipuri de relații între clase

În structura aplicației după cum se poate observa se utilizează preponderent 3 tipuri de relații: agregarea, asocierea și moștenirea. Agregarea are ca scop crearea unui obiect mai complex prin asamblarea altor obiecte împreună. Diferența dintre agregare și compoziție constă în faptul că obiectele componente pot exista și după ce obiectul din care fac parte își încheie ciclul de viață. Asocierea reprezintă o relație structurală dintre două clase și poate fi explicată prin faptul că de exemplu un obiect dintr-o clasă poate obține accesul la un obiect dintr-o clasă diferită. Moștenirea este mecanismul de construire al unei clase derivate pornind de la o clasă existentă. În urma acestui procedeu, clasa derivată poate conține atribute noi sau metode diferite care permit modificarea comportamentului existent din clasa de bază. În următoarele paragrafe se explică în detaliu funcționalitatea fiecărei clase existente în proiect pentru a avea o mai bună înțelegere a modului de funcționare al aplicației.

O serie de clase prezente în diagramă nu necesită implementare deoarece acestea sunt utilizate din cadrul utilitarului FuzzPVisual[20] care este o unealtă utilizată în mediul academic pentru a studia funcționalitatea rețelelor FLETPN. Clasele care fac parte din acest utilitar sunt:

- FuzzyPetriNet care permite desenarea rețelei prin introducerea de locații, tranziții și arce
- AsyncronRunnableExecutor
- FullRecorder urmărește comportamentul rețelei
- FuzzyDriver are rolul de a seta intervalul de lucru și de a fuzzifica valorile introduse în locațiile de intrare și de a defuzzifica comenzile date la tranzițiile de ieșire a reguletoarelor

În continuare, acest capitol are scopul de a detalia funcționalitatea fiecărei clase din componenta sistemului pentru a justifica utilizare și crearea lor în contextul aplicației curente.

Runnable este o interfață care permite unei clase să fie executată în diferite instanțe simultan pe câte un fir de execuție diferit. Astfel se justifică și utilizarea clasei Thread care este o clasă deja implementată la nivelul mașinii virtuale java. Pentru aplicații simple, de regulă programul funcționează pe un singur fir de execuție principal, însă necesitatea utilizării acestor elemente provine de la nevoia de distribuire a sistemului. Astfel, fiecare dintre cele 3 reguletoare prezente trebuie să ruleze în instanțe diferite deoarece comportamentul cât și efectul acestora asupra sistemului este diferit. Totodată, implementarea pe fire de execuție permite pornirea sau oprirea reguletoarelor în mod independent fără a afecta funcționalitatea celorlalte, lucru care prezintă libertatea de a utiliza doar setul dorit de reguletoare dintre cele prezente.

Următorul set de clase are ca scop modelarea componentelor existente în sistem: HeaterTank, RoomModel, AirConditionerModel și PlantModel. Primele 3 dintre acestea realizează modelul componentei numite prin asignarea unui set de atribute urmate de realizarea unei funcții constructor. La nivel de metode, fiecare clasă conține o funcție care are scopul de a actualiza sistemul, în această funcție se implementează ecuațiile de stare aferente fiecărui element, conform prezentării acestora în capitolul 3.1. Ca parametri ai funcției, de exemplu clasa HeaterTank prezintă o variabilă de tip boolean

pentru a determina dacă boilerul este oprit sau pornit și o variabilă de tip real care reprezintă comanda de gaz. Clasa `AirConditionerModel` prezintă următorii parametrii: o variabilă de tip real care dă valoarea aerului eliberat de dispozitiv și două variabile de tip boolean care prezintă dacă componenta este oprită/pornită sau dacă aerul dat este cald/rece. În clasa `RoomModel`, această funcție conține toți parametrii menționați anterior cât și alți doi parametri care prezintă perturbațiile sistemului (o variabilă booleană pentru geamul deschis/închis și o variabilă reală pentru temperatura din exterior) deoarece toate modificările sistemului trebuie să fie aplicate asupra camerei de referință pentru care se realizează controlul temperaturii. Aceste 3 clase conțin pe de altă parte și o metodă de tip `get` care permite obținerea unei valori necesare: temperatura aerului pentru aerul condiționat, temperatura apei din boiler sau temperatura camerei. Componenta `PlantModel` are scopul de a modela centrala ca și componentă principală, fapt pentru care în constructor toate componentele anterioare sunt create, fapt care justifică relațiile de agregare dintre această clasă și celelalte 3 clase menționate anterior. În mare parte, funcțiile din această clasă sunt de tip `get` sau `set` pentru a permite obținerea unor valori relevante sau modificarea acestora în funcție de cerințe. Totodată, cu ajutorul unei metode numită `start` se utilizează metodele de actualizare a sistemului atât timp cât centrala este pornită, mai exact cât timp aceasta primește date de la scenariul impus. În interiorul clasei se află de asemenea o funcție care realizează un set de înregistrări pentru a urmări parametrii și performanțele sistemului. Aceste înregistrări sunt de tip temperatură sau de tip comandă, acestea vor fi afișate ulterior la nivelul interfeței grafice. În Figura 3.4.3 de mai jos este prezentată clasa `HeaterTank`.

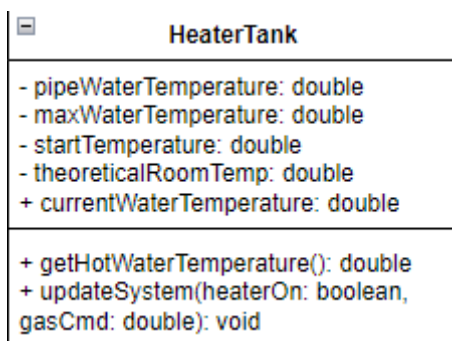


Figura 3.4.3. Clasa `HeaterTank`

În prima parte a chenarului se pot observa atributele clasei care crează obiectul de tip boiler iar în a doua parte sunt prezente metodele care reprezintă diferite acțiuni. Semnele de calcul precedate de atribute sau metode marchează dacă acestea sunt vizibile sau nu din exteriorul clasei curente: semnul `+` marchează parametrul ca fiind public, iar semnul `-` semnifică faptul că acel parametru este privat și poate fi utilizat doar în interiorul clasei. Motivul pentru care se folosesc aceste elemente provine de la nevoia de a preveni suprascriserea nedorită a unor atribute din altă subclasă. Ca și convenție de scriere, se observă că inițial este menționat numele parametrului și mai apoi este urmat de tipul de variabilă sau funcție care îi exprimă comportamentul.

Clasa `Scenario` are ca scop realizarea unui set de scenarii modelate care să poată fi aplicate asupra centralei cu scopul de a urmări performanțele sistemului. Atributele

principale ale acestei clase sunt două liste de elemente care prezintă următoarele roluri: prima listă conține valori reale cu privire la temperatura exterioară iar a doua listă conține un set de valori de tip boolean care marchează dacă într-o anumită oră geamul modelat al camerei este deschis sau închis. Scopul acestei clase este de a injecta un set de valori în centrală pentru a urmări comportamentul îndelungat. La nivelul acestei clase sunt prezente mai multe tipuri de funcții: apar metode de tip get care obțin un parametru dorit, metode de tip Scenario care modelează un interval din zi în decursul unui anotimp dorit și totodată este prezentă o metodă care are rolul de a construi scenariul dat în funcție de lungimea listelor menționate anterior.

Elementele RoomTemperatureController\_RTC, AirConditionerController\_ACC și HeaterTankController\_HTC sunt clasele care modelează cele 3 regulatoare care acționează asupra centralei termice. Rolul acestora este de a modela rețeaua Petri cu logică fuzzy, fapt pentru care atributele claselor sunt regulile fuzzy care o să fie ulterior introduse ca acțiuni la nivelul tranzițiilor. Totodată aceste clase se folosesc de diferite elemente din utilitarul FuzzPVisual pentru a realiza reprezentarea grafică care facilitează vizualizarea comportamentului regulatorului în fiecare locație. Crearea efectivă a rețelei FLETPN a fiecărui regulator are loc în constructorul clasei, în locațiile de intrare se introduc valorile crisp care sunt fuzzificate și la tranzițiile de ieșire regulatoarele trimit prin socket la server o serie de mesaje de tip comandă. La nivel de metode, fiecare din aceste 3 clase conține o metodă de start care pornește un regulator pe un fir nou de execuție și funcția stop. În funcție de fiecare regulator, fiecare clasă are de asemenea un set de metode care fuzzifică intrările corespunzătoare: componenta RTC fuzzifică temperatura curentă și temperatura de referință a camerei, componenta HTC fuzzifică temperatura curentă și temperatura de referință a apei iar componenta ACC fuzzifică temperatura curentă și cea de referință a aerului dat.

Clasa Server se ocupă de pornirea interfeței grafice principale și are rolul de a comunica cu clienții care în acest context sunt regulatoarele existente. Cu ajutorul unei clase numită ClientHandler, serverul pornește fiecare regulator pe câte un fir de execuție diferit ca să permită ca acestea să funcționeze în paralel. Dat fiind faptul că fiecare regulator are un comportament diferit, clasa ClientHandler este o clasă abstractă a cărei funcționalitate este extinsă de clasele care o moștenesc: RTCCClientHandler, HTCCClientHandler și ACCClientHandler. Acestea din urmă implementează funcția run în mod diferit în funcție de mesajele pe care aceste componente le primesc prin socket de la cele 3 regulatoare.

Ferestrele de vizualizare sunt componentele cu care utilizatorul interacționează pentru a face modificări asupra sistemului sau pentru vizualizarea unui set de înregistrări sau performanțe. Fereastra principală este creată cu ajutorul clasei ServerFrame și este prima componentă cu care interacționează utilizatorul. La nivelul acestei ferestre se poate alege tipul de scenariu de temperatură care să fie utilizat la nivelul centralei pentru a avea un set de date de lucru. Odată ce scenariul dorit este ales se poate porni modelul centralei prin apăsarea butonului Pornire model centrală, iar pentru a închide aplicația se poate folosi butonul de Ieșire. De menționat este că odată ce s-a ales un scenariu meniul de selectare, acesta se oprește. Sub butoanele aferente se află un chenar în care se afișează diferite detalii precum dacă se conectează/deconectează

clienți la server. Totodată, la nivelul acestei interfețe, în zona de text apar performanțele fiecărui regulator conectat la centrală, precum ar fi: consumul mediu, timpul maxim în care centrala este pornită în mod continuu și multe altele. Structura ferestrei principale a serverului este prezentată în Figura 3.4.4 de mai jos.



Figura 3.4.4 Fereastra principală a serverului

Clasa principală care se ocupă de regulatoarele din aplicație se numește ClientFrame. La nivelul acestei clase se prezintă o serie de butoane: un buton de Ieșire și 3 butoane cu numele aferent fiecărui regulator. Cele 3 butoane, la acționarea acestora, deschid fiecare câte o fereastră nouă, aferentă regulatorului dorit. Fereastra principală de Client este prezentată în Figura 3.4.5 de mai jos.

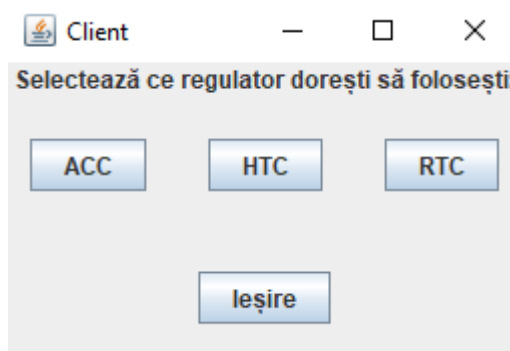


Figura 3.4.5 Fereastra principală a clientului

Ultimele 3 interfețe, RTCFrame, HTCFrame și ACCFrame conțin fiecare următoarele elemente: un buton de oprire/pornire a regulatorului, un câmp de introducere a unei valori de referință de intrare unde este cazul și un set de performanțe prezente la nivelul unui câmp de tip text. Pornirea unui regulator permite de asemenea accesarea unui set de grafice pentru a urmări intrările și ieșirile pentru a putea analiza dacă comportamentul impus este cel dorit. Pornirea/oprirea regulatorului este marcată pe nivelul butonului care capătă culoarea verde, respectiv roșu în funcție de caz. În Figura 3.4.6 de mai jos este reprezentată fereastra pentru componenta HTC iar pentru restul regulatoarelor fereastra de afișare este similară.

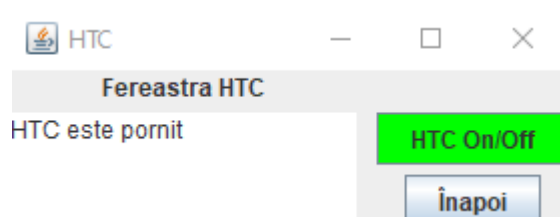


Figura 3.4.6 Fereastra regulatorului HTC



### 3.5 Implementare

Capitolul de implementare urmărește să dezvăluie o serie de secvențe de cod relevante prezente la nivelul aplicației. Scopul realizării acestui subcapitol urmărește aducerea unei explicații cât mai amănunțite cu privire la implementarea a diferite elemente sau simularea unui tip de comportament la nivelul sistemului. Totodată, existența acestui subcapitol permite facilitarea înțelegerii logicii din spate pentru a permite o implementare ulterioară sporită.

Realizarea rețelelor Petri la nivel de cod java este posibilă prin utilizarea utilitarului FuzzPVisual care permite modelarea și monitorizarea acestor rețele realizate, în Figura 3.5.1 prezentată mai jos se explică o serie de comenzi.

```
net = new FuzzyPetriNet();
int p0 = net.addPlace();
p1RefInp = net.addInputPlace();
net.setInitialMarkingForPlace(p0, FuzzyToken.zeroToken());
int tr0Reader = net.addTransition( delay: 0, parser.parseTwoXOneTable(reader));
net.addArcFromPlaceToTransition(p0, tr0Reader, weight: 1.0);
net.addArcFromPlaceToTransition(p1RefInp, tr0Reader, weight: 1.0);
```

*Figura 3.5.1. Comenzi realizare rețea Petri*

În primul rând, se realizează crearea unei rețele Petri nouă, lucru care este posibil prin declararea la nivelul atributelor o variabilă numită net care este de tipul clasei FuzzyPetriNet, clasă componentă a utilitarului folosit. În continuare, în ordinea apariției elementelor, acestea se introduc rând pe rând.

Următoarele două linii de cod arată modul de creare a locațiilor: p0 este o locație ce se află în interiorul buclei, fapt pentru care aceasta se poate crea ca și variabilă de tip întreg în interiorul constructorului regulatorului iar p1RefInp este o locație de tip intrare. În cazul ulterior, locația de intrare este declarată în exteriorul constructorului ca și variabilă globală deoarece într-o astfel de locație se dorește introducerea unei valori crisp primite din exteriorul regulatorului. Această valoare crisp trebuie întâi convertită într-o variabilă de tip fuzzy cu ajutorul unor funcții de tip setare valoare care sunt prezente la nivelul fiecărei clase de regulator.

Funcția de setInitialMarkingForPlace permite introducerea în locații a jetoanelor fuzzy. Marcajele inițiale sunt de regulă folosite în această aplicație atunci când locația respectivă este precedată de o tranziție întârziată cu un tact de timp care impune necesitatea de a relua ciclul de reglare atât timp cât nu s-a ajuns la valoarea reglată dorită.

Crearea și declararea elementelor de tip tranziție se realizează la nivelul constructorului. Ca parametrii, funcția de creare a unei tranziții conține valoarea dorită de întârziere cât și tipul de regulă fuzzy care este folosită. În cazul prezentat mai sus, tranziția tr0Reader nu este întârziată deoarece prezintă valoarea 0, iar regula pe care această tranziție o execută este aceea de a citi valorile de intrare. Apariția a două intrări și o ieșire este semnalată de către funcția parse care realizează analiza regulii. Crearea

tranzițiilor de ieșire se face în mod similar cu funcția `addOutputTransition`, singura diferență este că întârzierea nu mai este prezentă ca parametru, ci doar regula impusă.

Ultimele două linii de cod prezintă modalitatea de creare a arcelor între o locație și o tranziție. Parametrii de intrare sunt locația, respectiv tranziția între care se desenează arc și o a treia valoare care semnifică costul de transmitere a jetonului mai departe. Unde nu este necesară o funcționalitate specială, costul arcelor este de regulă impus la valoarea 1. Cu ajutorul funcției `addArcFromTransitionToPlace` se realizează în mod similar desenarea unui arc, cu diferența că această metodă creează un arc de la tranziție la locație și nu invers..

Față de tranzițiile din interiorul rețelei, tranzițiile de ieșire au scopul de a transmite o comandă mai departe la centrală pentru a realiza reglarea dorită. În Figura 3.5.2 de mai jos se observă implementarea unei funcții pentru o astfel de tranziție.

```
net.addActionForOutputTransition(tr2Out, new Consumer<FuzzyToken>() {
    @Override
    public void accept(FuzzyToken tk) {
        try {
            osw.write(String.valueOf(tankCommandDriver.defuzzify(tk)));
        } catch (IOException e) { throw new RuntimeException(e); }
    }
});
```

Figura 3.5.2. Acțiune impusă pe o tranziție de ieșire

Această funcție are ca parametrii tranziția de ieșire, un jeton fuzzy de tip consumator și o metodă `accept` care preia marcajul fuzzy. În acest exemplu, această tranziție de ieșire corespunde cu comanda de gaz dată de regulatorul HTC. Valoarea este transmisă prin socket către server cu ajutorul variabilei `osw` care este de tip `OutputStreamWriter`. Pentru ca centrala să poată interpreta valoarea, jetonul este mai întâi defuzificat și apoi convertit sub forma unei variabile de tip text. Această comandă este introdusă într-o buclă de tip `try catch` care are scopul de a trata excepții, respectiv erori ce pot apărea la nivelul programului. Prin acest tip de buclă se previne oprirea bruscă a programului, acesta fiind capabil să își continue execuția.

La nivelul clasei `Server`, se alege în primul rând un scenariu dorit din cele existente și se pornește componenta care modelează centrala termică. Apoi, pentru a gestiona conectarea reglatoarelor, se crează un element de tipul `ClientHandlerFactory` care, prin determinarea tipului de regulator dorit, creează un `ClientHandler` care are scopul de a implementa o comunicare corectă între server și comenzile date de un regulator. În Figura 3.5.3 se exemplifică crearea unui astfel de element în funcție de regulatorul HTC.

```
if (controllerName.equals("HTC")) {
    setControllerName(controllerName);
    return new HTCClientHandler(socket, plant);
}
```

Figura 3.5.3. Crearea unui handler

Atât timp cât socket-ul serverului este pornit, în cazul conectării unui nou regulator se crează un astfel de ClientHandler care este pornit pe un nou fir de execuție. Acest lucru este realizat pentru că fiecare regulator are un comportament și un set de comenzi diferit, fapt ce duce la necesitatea funcționării acestora în paralel, independent unul de celălalt. Regulatele conectate sunt ulterior introduse într-o listă pentru a reține care dintre acestea sunt conectate la orice moment de timp dorit.

În Figura 3.5.4 prezentată mai jos are loc setarea comenzii primite de la regulator asupra modelului centralei termice. Pentru exemplificare, acest de comenzi este realizat pentru regulatorul HTC, celelalte două handler ale regulatelelor au o implementare similară, diferența principală fiind tipul de comandă care este transmis.

```
try {
    messageFromClient = bufferedReader.readLine();
    while (socket.isConnected()) {
        double value = parseMessageFromClient(messageFromClient);
        plant.setHeaterGasCmd(value);
        double waterTemp = plant.getTankWaterTemperature();
        bufferedWriter.write( str: waterTemp + "");
    } catch (IOException e) {
        e.printStackTrace();
    }
```

Figura 3.5.4. Setarea comenzii date de regulator

Implementarea evidențiată mai sus are loc în interiorul funcției run al fiecărui handler. Handler-ul fiecărui tip de regulator extinde clasa ClientHandler, o clasă abstractă care implementează Runnable pentru a permite suprascrierea funcției run conform fiecărei cerințe. Înainte de setarea comenzii date de regulator, se citește valoarea primită și se reține la nivelul unei variabile de tip mesaj. În momentul în care handler-ul este conectat la socket, această valoare este convertită la nivelul funcției parseMessageFromClient care o să fie explicată ulterior. În continuare, pentru acest exemplu, se setează ieșirea regulatorului HTC care reprezintă comanda de gaz și se realizează o cerere de tip get la centrală pentru a obține valoarea curentă a temperaturii apei care este modificată în urma setării comenzii de gaz. Tot acest procedeu este realizat în interiorul unui bloc de tip try catch pentru a trata erorile pe intrări și ieșiri ca și o excepție. În cazul în care nu se poate realiza setul de comenzi, se aruncă excepția și se printează detalii cu privire la numărul liniei și numele clasei în care are loc excepția.

În Figura 3.5.5 este realizată funcția de conversie a comenzii primite de la regulatorul HTC care este utilizată în funcția run prezentată anterior.

```
private double parseMessageFromClient(String message){
    double value=0;
    try{
        value = Double.parseDouble(message);
    }catch (NumberFormatException e){}
    return value;}

```

Figura 3.5.5. Funcția de conversie a comenzii pentru HTC

În acest exemplu are loc o conversie între un element text și o valoare numerică reală după care se returnează valoarea convertită. Această funcție este în acest caz o funcție de tip `double`, însă pentru alte regulatoare această funcție este implementată diferit. Pentru regulatorul RTC, funcția este de tip `boolean` deoarece pe ieșirea regulatorului comanda este de a opri sau a porni regulatorul. Pentru regulatorul ACC se folosește funcția de tip `String` pentru că pe ieșirea regulatorului sunt prezente două tipuri de comenzi, una pentru pornirea/oprirea regulatorului și una pentru alegerea aerului cald/rece.

### **3.5.1 Șabloane de proiectare folosite**

La nivelul implementării acestei aplicații s-au folosit două tipuri de șabloane de proiectare: `client-server` și `factory`. Acestea sunt adesea folosite pentru rezolva diferite probleme comune ce pot apărea la nivelul realizării unei aplicații. Cu ajutorul acestor șabloane se pot evidenția atât componentele principale ale sistemului cât și interacțiunea între acestea.

Șablonul `client-server` este utilizat cu scopul de a permite sistemului să suporte un volum ridicat de informații și să permită extinderea ulterioară a acestuia în funcție de prioritățile de dezvoltare. Astfel, la nivelul acestei aplicații, serverul are scopul de a comunica cu clienții care, fiind reprezentați de regulatoarele sistemului, comunică și reglează temperatura la nivelul modelului încăperii. Astfel, interacțiunea clienților cu serverul modifică în timp real comportamentul sistemului de reglare al temperaturii iar la nivel de clienți, utilizatorul poate interacționa cu interfața grafică pentru a decide ce regulatoare să fie puse în funcțiune.

Existența a mai multe regulatoare duce la nevoia de a crea o comunicare diferită între fiecare dintre acestea cu serverul. Un `client handler` este componenta care are rolul de a trata comunicarea între server și un client, fapt pentru care este necesară utilizarea unei clase numită `ClientHandlerFactory` care este realizată cu ajutorul șablonului de proiectare `factory`. Astfel la nivelul acestei clase, în funcție de numele regulatorului care se dorește a fi conectat, se crează un `client handler` unic în funcție de regulatorul dorit. În acest mod se asigură că de fiecare dată se apelează componenta care se ocupă de comunicarea corectă între server și regulatorul aflat în cauză. Utilizarea acestui șablon facilitează totodată și extinderea ulterioară a funcționalității aplicației deoarece, dacă la o implementare ulterioară se dorește crearea unor noi regulatoare, codul rămâne ușor de înțeles.

## 4 Scenarii și testare aplicație

Capitolul curent urmărește să creeze și să analizeze o serie de teste aplicate la nivelul sistemului dat. Astfel, în urma testelor realizate se pot identifica funcționalitățile sistemului și se pot urmări performanțele obținute în urma utilizării reguletoarelor implementate. Principalele aspecte care se urmăresc sunt: confirmarea că sistemul este funcțional și răspunde cerințelor date de utilizator, determinarea că aplicația continuă să funcționeze în urma deconectării unui regulator și analizarea performanțelor pentru a constata dacă sistemul se comportă conform cerințelor impuse. Prin testarea aplicației urmând acești pași se confirmă că totul a fost implementat corect și aplicația este pregătită pentru a putea fi dezvoltată ulterior dacă se dorește acest lucru.

### 4.1 Scenarii de testare

În acest subcapitol se studiază utilizarea scenariilor pentru a vedea cum se modifică reglarea sistemului. Se consideră aplicația dată care urmărește să regleze temperatura unei camere prin capacitatea de a prelua date din mediul exterior și de a rejecta perturbații ce pot apărea la nivelul sistemului. Astfel, se creează câte un scenariu pentru un interval de zi într-un anume anotimp. Clasa care se ocupă de crearea acestui obiect de tip scenariu are ca atribute o listă de numere întregi care sunt temperaturi injectate, acestea fiind temperaturi medii de afară în fiecare oră într-un anotimp dat și o altă listă de elemente tip boolean care o să rețină pentru fiecare oră dacă geamul din incinta camerei este deschis sau închis. Aceste date introduse sunt alese pentru a demonstra pe un interval de timp care este eficiența dată de sistem, pentru o implementarea reală ulterioară aceste date injectate pot fi preluate de la un senzor de temperatură plasat în mediul exterior și un senzor ultrasonic care să determine dacă fereastra este deschisă, însă această aplicație are doar un rol demonstrativ, fapt pentru care datele sunt alese conform mediilor de temperatură anuale ale fiecărui anotimp și datele pentru acționarea asupra ferestrei sunt probabilități alese la intervale orare unde este firesc ca această acțiune are o mai mare șansă de a avea loc. Astfel, componenta scenariu conține mai multe funcții statice pentru o zi a tuturor celor 4 anotimpuri care inițializează cele două liste cu un set de câte 24 de valori. În mod normal însă o centrală termică nu este pornită pe parcursul întregii zile, fapt pentru care se pot crea și alte scenarii cu un set de valori mai mic decât 24 pentru a demonstra că este posibilă urmărirea performanțelor sistemelor pe un interval mai scurt de timp, fapt pentru care se introduce și un scenariu al unei dimineți de iarnă care utilizează sistemul doar timp de 4 ore. Pentru a demonstra și alte intervale de timp se pot crea noi funcții cu ușurință, singurul detaliu care trebuie luat în calcul este ca numărul de valori din lista de temperaturi să fie egal cu numărul de valori din lista de deschidere a geamului. Pentru a observa mai ușor scenariile folosite la nivelul aplicației, se poate urmări graficul de mai

jos prezent în Figura 4.1.1 unde fiecare scenariu este marcat cu o culoare marcată în legenda alăturată.

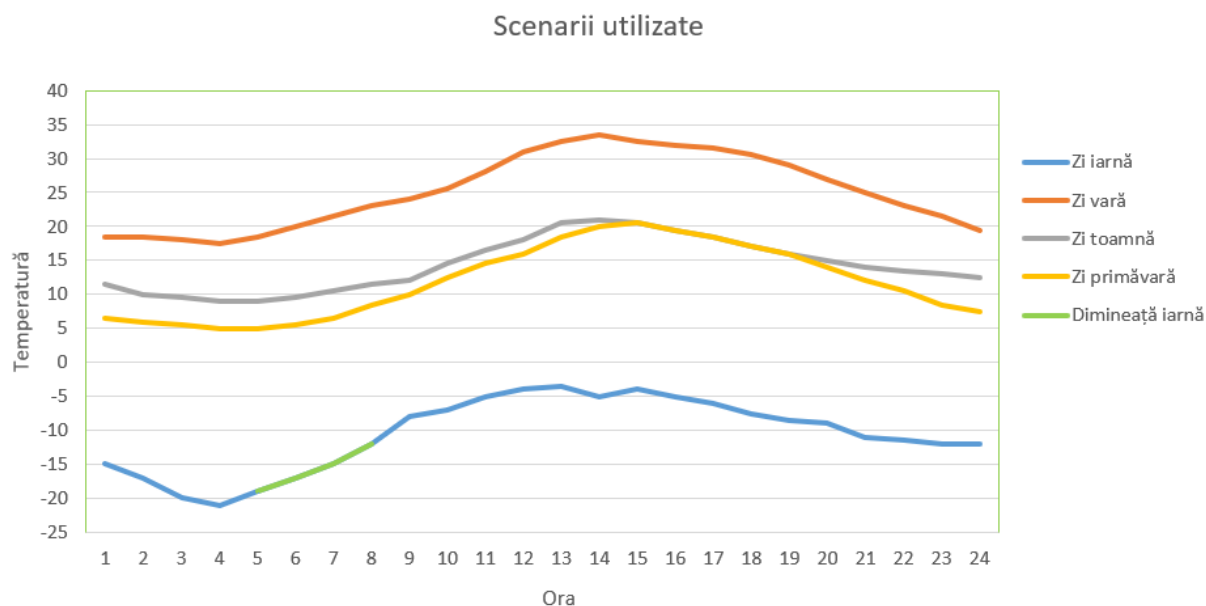


Figura 4.1.1. Scenarii utilizate

## 4.2 Testare efectivă

Elementele prezente la nivelul interfeței grafice sunt testate pentru a confirma faptul că sistemul este funcțional și receptiv la comenzile utilizatorului care se ocupă de testare. În primul rând, se pornește aplicația sub forma unei ferestre principale. La nivelul aceste ferestre se alege în primul rând un scenariu dorit asupra căruia se dorește testarea sistemului. Opțiunea de a selecta scenariul dorit este prezentată în Figura 4.2.1 de mai jos.

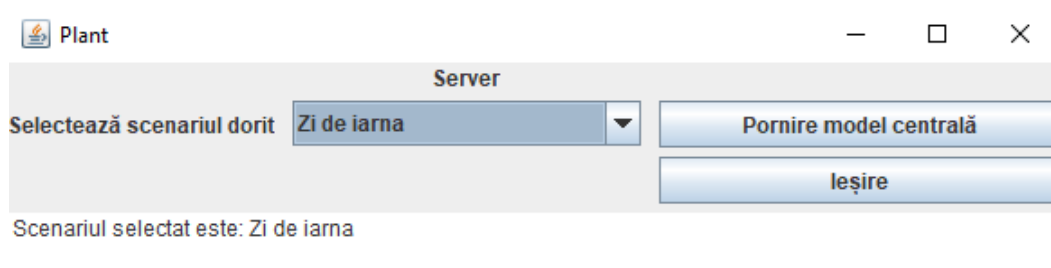


Figura 4.2.1. Selectarea scenariului

În urma alegerii scenariului dorit, următorul pas constă în pornirea unui set de regulatoare din cele prezente în sistem. Pentru a putea face acest lucru, la nivelul ferestrei principale se află un set de butoane al căror nume corespunde cu fiecare regulator. Prin acționarea unuia din cele 3 butoane, se deschide o nouă fereastră care poate conține: un câmp în care se setează o valoare de intrare (precum temperatura dorită în cameră), un buton *Înapoi* care permite reîntoarcerea la fereastra principală, un buton care pornește/oprește regulatorul și totodată mai apar diferite grafice sau performanțe. În Figura 4.2.2 de mai jos se acordă ca exemplu accesarea ferestrei care se ocupă de regulatorul RTC.

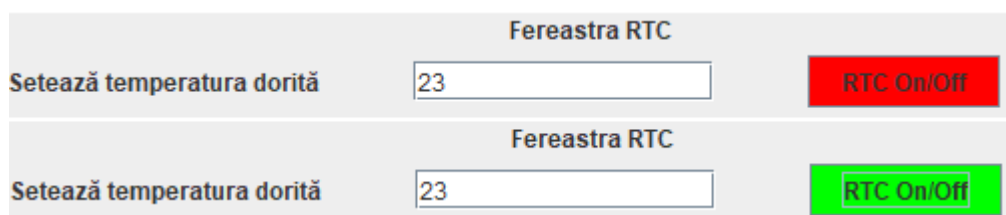


Figura 4.2.2. Pornire/oprire RTC și setare valoare temperatură

După cum se poate observa, la nivelul acestei ferestre se poate introduce de la tastatură valoarea dorită de reglare a temperaturii camerei și cu ajutorul butonului de sub câmp, se poate opri sau porni regulatorul. Culoarea roșie marchează faptul că regulatorul este oprit, iar buton capătă culoarea verde în momentul apăsării acestuia, fapt ce semnifică că regulatorul este pornit. În mod evident, dacă se dorește ulterior oprirea regulatorului, acest lucru este posibil prin simpla reapăsare a butonului, care o să își schimbe din nou culoarea în roșu pentru a semnală faptul că regulatorul este oprit. Oprirea și pornirea unui regulator este de asemenea semnalată la nivelul aplicației printr-o serie de mesaje afișate în cadrul unei zone de text. La nivelul acestor ferestre există și un buton numit Înapoi care permite închiderea ferestrei dorite.

La nivelul ferestrei principale există un ultim buton de ieșire care permite oprirea aplicației. În urma acționării butonului, apare o fereastră de dialog care cere confirmarea utilizatorului pentru a se asigura că oprirea aplicației este dorită de către acesta. În Figura 4.2.3 se poate vedea această fereastră de dialog care este pornită în urma acționării butonului de ieșire din aplicație, dacă se selectează Yes atunci interfața grafică este oprită, în caz contrar, fereastra de dialog dispare.

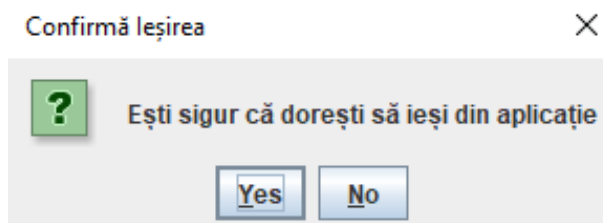


Figura 4.2.3. Confirmare oprire aplicație

### 4.3 Performanțe

În cele ce urmează, se urmărește simularea comportamentului sistemului în momentul pornirii reglatoarelor. Acest comportament în consecință prezintă un set de performanțe care este analizat la nivelul acestui subcapitol. Performanțele sistemului sunt foarte importante deoarece scopul inițial impus încă de la începutul lucrării este acela de a realiza un sistem capabil să regleze temperatura camerei cât mai eficient posibil. Astfel, prin atingerea unui set de performanțe bun se justifică nevoia de a se dezvolta acest domeniu de reglare cu reglatoare FLETPN pentru că se reduc costurile de întreținere care în consecință duc și la creșterea satisfacției potențialilor utilizatori.

Următoarele performanțe se consideră asupra unui scenariu de iarnă aplicat asupra centralei. Totodată, se consideră temperatura admisă în boiler la o temperatură maximă de 75 de grade Celsius pentru că o valoare mai mare la o implementare fizică



poate duce la distrugerea sistemului. La nivelul regulatorului RTC se alege valoare de 24 de grade Celsius ca fiind valoarea dorită la nivelul modelului camerei.

De menționat este faptul că performanțele discutate în următoarele paragrafe sunt performanțele obținute în cazul în care toate cele 3 regulatoare sunt pornite în scenariul unei zile de iarnă. Astfel, în continuare se explică pe rând ce performanțe aduce fiecare din cele 3 regulatoare prezente în momentul în care acestea sunt active.

Pentru regulatorul HTC, se prezintă următoarele detalii: temperatura maximă/minimă, temperatura medie și stabilitatea temperaturii. Stabilitatea temperaturii  $S_{Tapa}$  este un procent care arată variația temperaturii apei din boiler față de temperatura medie. Cu cât procentul este mai mic cu atât se indică o stabilitate mai mare. Pentru a putea determina acest parametru se utilizează ecuația (4.3.1) de mai jos.

$$S_{Tapa} = (T_{max\ apa} - T_{min\ apa}) / T_{mediu\ apa} * 100 \quad (4.3.1)$$

Se menționează faptul că în ecuația utilizată anterior nu se ia în calcul temperatura minimă ca fiind 23 de grade deoarece aceasta este considerată temperatura la care se află apa în momentul în care centrala este pornită pentru prima dată. Performanțele se calculează în jurul valorii staționare care în acest caz este temperatura medie. Astfel, se decide alegerea unei benzi de eroare de  $\pm 5\%$ , care în acest caz încadrează sistemul în regim staționar între  $\pm 3.65$  de grade Celsius față de temperatura medie calculată. Toate aceste performanțe sunt vizibile în Figura 4.3.1 care apare la nivelul zonei de text din cadrul aplicației server. După cum se poate observa, variația de 4.99% este mică, fapt ce semnifică o stabilitate ridicată.

```

Temperatura maxima apa: 74.35 grade C
Temperatura minima apa: 23.0 grade C
Temperatura medie apa: 73.07 grade C
Banda de eroare  $\pm 5\%$  față de temperatura medie a apei:  $\pm 3.65$  grade C
Variația temp apei in banda  $\pm 5\%$  față de temp medie: 4.99%

```

Figura 4.3.1. Performanțe HTC

Pornirea regulatorului RTC produce un set de informații precum temperatura minimă, maximă, respectiv medie atinsă la nivelul camerei, stabilitatea temperaturii față de temperatura medie cât și alte performanțe cu privire la comportamentul centralei, printre care: raportul în care încălzirea este pornită, timpul maxim în minute care arată cât timp a fost pornită centrala în mod continuu, consumul total atins în urma acționării scenariului ales și consumul mediu utilizat într-un minut. Stabilitatea temperaturii din cameră se calculează utilizând ecuația (4.3.2) de mai jos.

$$S_{Tcamera} = (T_{max} - T_{min}) / T_{mediu} * 100 \quad (4.3.2)$$

Totodată, raportul de încălzire pornită semnifică perioada de timp în care boilerul este activ comparativ cu timpul total de funcționare. Atât în acest caz, cât și la nivelul stabilității temperaturii, un procentaj scăzut indică o eficiență mai bună.

De asemenea, se poate lua în considerare timpul maxim în minute care arată cât timp a fost pornită centrala pentru a determina cât de eficient este sistemul. La nivelul performanțelor, se mai poate vizualiza atât consumul total cât și consumul mediu într-



un minut pentru a asigura o bună monitorizare a consumului. Toate aceste înregistrări sunt prezentate mai jos în Figura 4.3.2.

```
Temperatura maxima camera: 25.3 grade C
Temperatura minima camera: 23.38grade C
Temperatura medie camera: 24.13 grade C
Variația temperaturii față de temp medie: 7.95%
Raport incalzire pornita: 6.73%
Numar maxim centrala pornita: 4 minute
Consum total: 1433.14
Consum mediu intr-un minut: 0.99
```

Figura 4.3.2. Performanțe RTC

Ultimul regulator ACC acționează asupra temperaturii aerului eliberat, astfel că acesta afișează în consecință următoarele: temperatura maximă, minimă și medie a aerului, cât și eficiența aerului condiționat. Această eficiență este calculată prin utilizarea ecuației (4.3.3) de mai jos.

$$S_{Taer} = (T_{max\ aer} - T_{min\ aer}) / T_{mediu\ aer} * 100 \quad (4.3.3)$$

Limitele impuse la nivelul acestui regulator sunt că aerul eliberat nu poate fi mai cald decât o temperatură de 23 de grade Celsius sau mai rece decât 10 grade Celsius pentru că o implementare reală ar aduce astfel de limitări asupra sistemului. Astfel, în urma rulării scenariului pentru o zi de iarnă apar performanțele din Figura 4.3.3. După cum se poate observa, procentajul are o valoare foarte bună de doar 1.08%, însă în această situație performanța este atât de bună deoarece toate cele 3 regulatoare funcționează în acest scenariu simulat de iarnă, fapt pentru care regulatorul HTC se ocupă de majoritatea procesului de încălzire a camerei în acest caz.

```
Temperatura maxima aer: 23.0 grade C
Temperatura minima aer: 22.75 grade C
Temperatura medie aer: 22.94 grade C
Variația temperaturii aerului față de temp medie: 1.08%
```

Figura 4.3.3. Performanțe ACC: scenariu de iarnă

Evident, dacă se rulează un alt scenariu performanțele sistemului diferă în funcție de condițiile date. La restul scenariilor, consumul scade deoarece nu este nevoie de o compensare la fel de mare asupra temperaturii camerei. Ca exemplu, în Figura 4.3.4 sunt prezentate înregistrări cu privire la temperaturile atinse de aerul controlat de regulatorul ACC. După cum se poate observa, deoarece în acest scenariu se dorește răcirea camerei, temperatura minimă și medie suferă schimbări în comparație cu valorile atinse în figura anterioară.

```
Temperatura maxima aer: 23.0 grade C
Temperatura minima aer: 18.23 grade C
Temperatura medie aer: 20.88 grade C
Variația temperaturii aerului față de temp medie: 22.84%
```

Figura 4.3.4. Performanțe ACC: scenariu de vară

În această situație variația temperaturii aerului față de temperatura medie are un procent mai ridicat, mai exact de 22.84%, deoarece în această situație doar regulatorul ACC poate contribui la răcirea camerei la temperatura dorită. În toate cazurile menționate anterior, un procentaj scăzut al performanțelor explicite semnifică faptul că performanțele sunt bune.

În următoarele paragrafe se studiază graficele obținute la nivelul reguletoarelor pentru a înțelege atât modul lor de funcționare cât și pentru a urmări și determina calitatea performanțelor obținute. Reguletoarele modelate de mai jos sunt realizate cu ajutorul utilitarului FuzzPVisual, astfel se poate monitoriza fiecare locație în parte pentru a determina dacă valorile la intrări sunt corecte și dacă regulile fuzzy ale tranzițiilor sunt realizate corect. La nivelul interfeței deschise se crează graficele care se prezintă ulterior în acest subcapitol, în cazul în care se dorește vizualizarea comportamentului în interiorul unei locații se apasă click stânga, iar pentru deselectare se acționează click dreapta.

În Figura 4.3.5 este afișat regulatorul HTC care este creat cu ajutorul clasei HeaterTankController\_HTC, acest afișaj este realizat cu ajutorul utilitarului FuzzPVisual și permite o vizualizarea facilitată a intrărilor și ieșirilor regulatorului pentru a determina dacă comportamentul impus de regulile fuzzy de la nivelul tranzițiilor sunt implementate în mod corect.

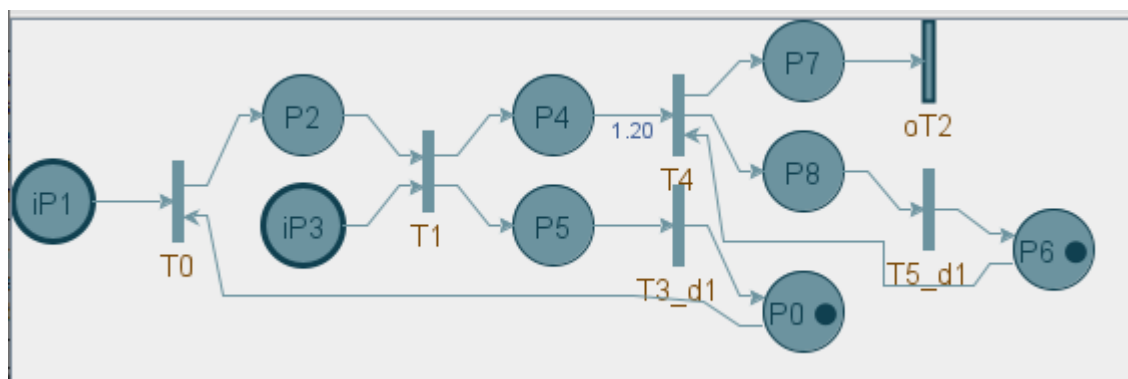


Figura 4.3.5. Regulator HTC modelat

La nivelul următoarelor grafice pe axa X este reprezentat timpul iar pe axa Y se află gradul de apartenență. În Figura 4.3.6 se observă că pe un grafic limitat în intervalul [-1,1] se realizează reprezentarea grafică a diferitelor elemente. Marcajul iP1 desenat cu roșu reprezintă temperatura de referință a apei din boiler la care se dorește să se ajungă iar marcajul iP3 desenat cu albastru reprezintă temperatura reală curentă a apei din boiler. În tranziția T1 este necesară realizarea erorii dintre aceste două valori, fapt pentru care regula fuzzy prezintă realizarea operației de diferență așa cum este explicat în subcapitolul 3.1. Astfel în locațiile de ieșire a tranziției, precum în poziția P5 marcată cu verde, se vede cu ușurință că acțiunea este corectă și realizează calculul erorii. În primele secunde ale pornirii regulatorului se observă faptul că eroarea este mare, acest lucru este determinat de apariția suprareglajului. Pentru a urmări mai ușor acest grafic cât și următoarele grafice prezentate mai jos, fiecare va conține o legendă care marchează culoarea valorilor parametrilor de intrare și astfel ajută la identificarea mult mai rapidă a fiecărui element prezent.

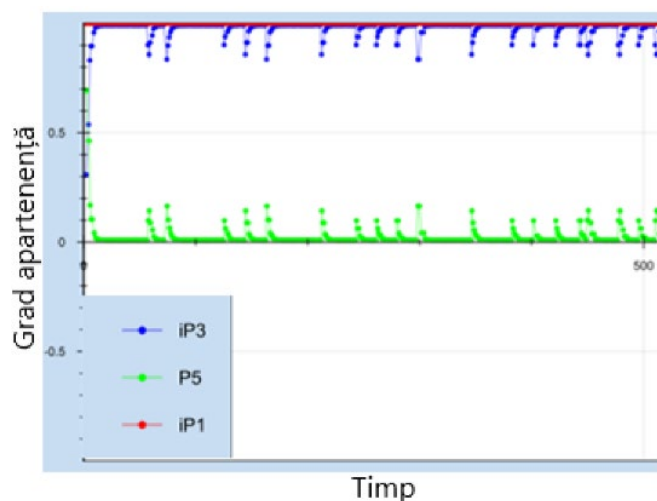


Figura 4.3.6. Intrările și eroarea componentei HTC

În Figura 4.3.7 de mai jos apare aceeași eroare pentru ambele marcaje de culoare, însă se observă că acestea sunt decalate cu un tact de timp. Scopul prezentării acestui grafic constă în a demonstra că tranziția T3\_d1 realizează operația de întârziere cu un tact care este trimisă în tranziția T0 pentru a relua ciclul de reglare atât timp cât sistemul este pornit și nu s-a ajuns la valoarea dorită. Totodată, în această figură se observă mult mai ușor existența unui suprareglaj al erorii la începutul simulării, fapt ce este normal deoarece valoarea temperaturii apei din boiler la pornirea acestuia are o valoare mult mai mică decât valoarea finală la care se dorește să se ajungă.

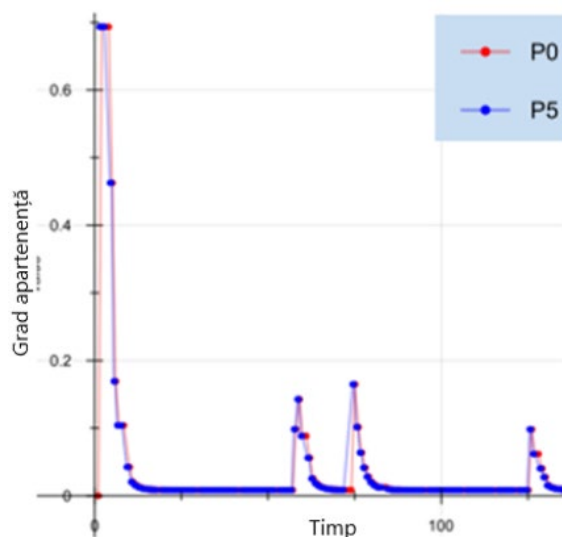


Figura 4.3.7 Întârziere de un tact

În Figura 4.3.8 este realizat modelul rețelei FLETPN pentru componenta RTC realizat la nivelul clasei RoomTemperatureController\_RTC care utilizează clase din utilitarului FuzzPVisual. La fel ca și la regulatorul anterior, se pot accesa graficele prezente la nivelul locațiilor pentru a urmări comportamentul componentei RTC.

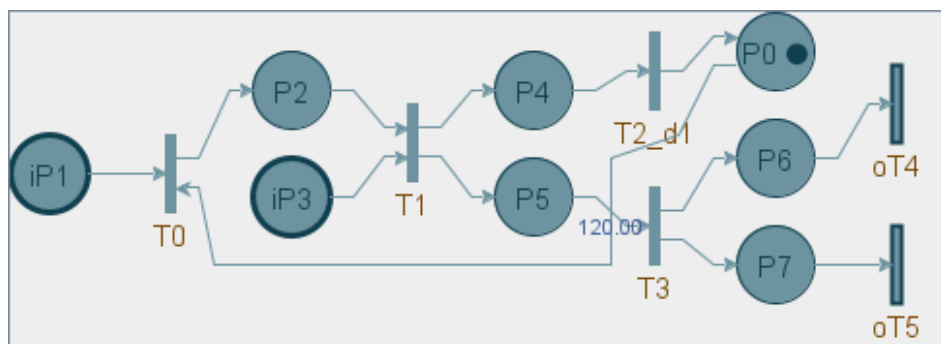


Figura 4.3.8. Regulator RTC modelat

La nivelul acestui regulator se află două locații de intrare: una primește valoarea de referință a temperaturii iar cealaltă primește valoarea curentă. La ieșirea acestui regulator se transmite o valoare booleană care comandă dacă sistemul de reglare a temperaturii se pornește/oprește. În mod similar ca și la regulatorul anterior, există tranziția T2\_d1 care reprezintă întârzierea de un tact care reia calculul erorii atât timp cât aceasta nu este nulă.

În Figura 4.3.9 se pot observa următoarele elemente: temperatura de referință iP1 marcată cu albastru și temperatura curentă a camerei iP3 marcată cu roșu. În tranziția T1 are loc calculul erorii dintre cei doi parametri prin realizarea operației de diferență. Ieșirea acestei tranziții este de asemenea prezentă la nivelul acestui grafic și este marcată de locația P4 desenată cu mov.

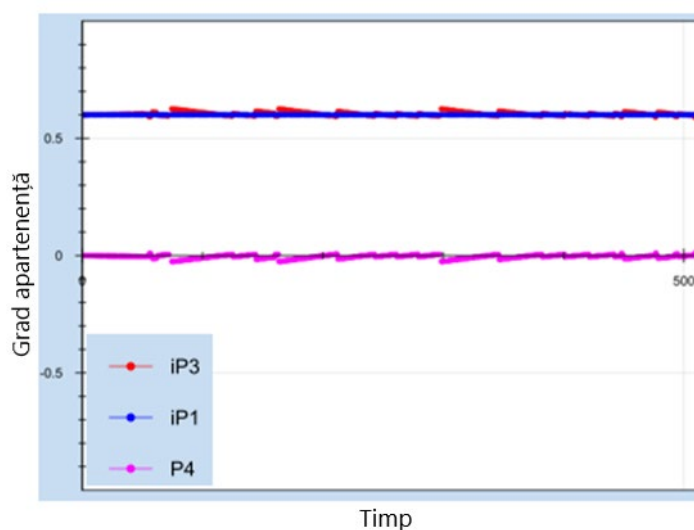


Figura 4.3.9. Intrările și eroarea componentei RTC

La ieșirea regulatorului RTC se află comanda de oprire/pornire a componente de încălzire a camerei fapt pentru care ieșirea prezintă două ramuri. În Figura 4.3.10, P6 este marcat cu culoarea neagră și prezintă momentele de timp în care boilerul este oprit iar P7 este marcat cu roșu și semnifică perioadele de timp în care componenta este pornită. Acest comportament de pornire/oprire este prezent și la componenta ACC, fapt pentru care nu se reia explicarea acesteia ulterior.

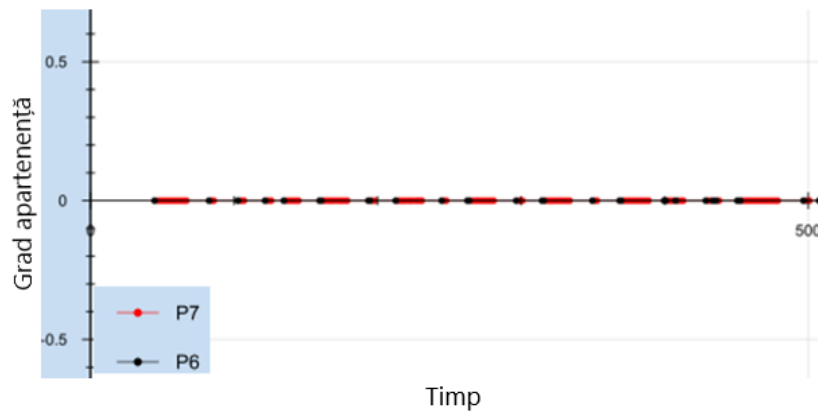


Figura 4.3.10. Comandă boiler oprit/pornit

Ultimul regulator din componenta sistemului este ACC și acesta este reprezentat mai jos în Figura 4.3.11.

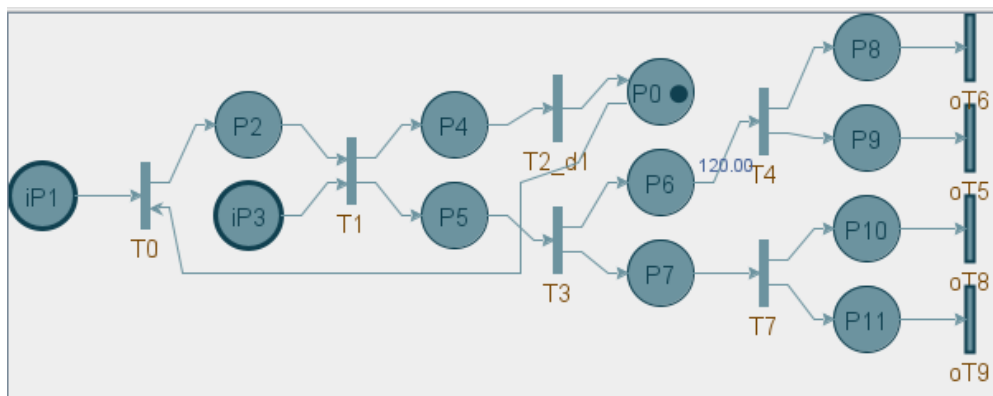


Figura 4.3.11. Regulator ACC modelat

La intrări se introduce valoarea temperaturii de referință și valoarea curentă iar eroarea se calculează în mod similar ca și la regulatoarele anterioare. La ieșire se prezintă 4 tranziții, 2 marchează prezența comenzii de oprire/pornire a regulatorului ACC în mod similar cu comanda prezentată în figura anterioară, iar al doilea set de tranziții ia decizia de a ejecta aer rece/cald de la componenta de aer condiționat, comportament care poate fi observat în Figura 4.3.12.

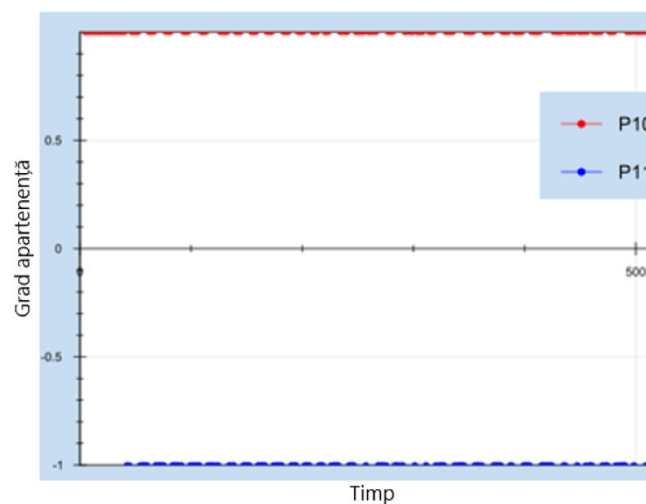


Figura 4.3.12. Comandă aer cald/rece

## 4.4 Reziliența aplicației

Testarea rezilienței are rolul de a asigura că, în ciuda unor modificări asupra aplicației, aceasta este capabilă să își exercite funcționalitatea în continuare. Dacă în urma unui factor extern, aplicația își încetează funcționarea în special în timpul perioadelor foarte reci, acest lucru duce la apariția unei perturbații mari care necesită un consum mai ridicat de energie, astfel cu cât timpul de revenire la starea de funcționare este mai mic, cu atât sistemul este mai eficient.

În acest ultim subcapitol se testează reziliența aplicației la deconectarea unui regulator. Scopul urmărit este de a demonstra că sistemul este capabil să își continue funcționarea în urma unui asemenea eveniment pentru a arăta că sistemul realizat poate funcționa doar cu un anumit set de regulatoare.

Regulatoarele se pornesc la nivelul ferestrelor client prin acționarea butoanelor de On/Off. În urma acționării acestor butoane, serverul care se ocupă de gestionarea clienților afișează linii de text aferente comenzilor date în interiorul unui câmp de text prezent la nivelul ferestrei server. Atât timp cât serverul este pornit și s-a selectat în prealabil scenariul de rulare pentru a porni modelul centralei, regulatoarele sunt capabile să se conecteze și să se deconecteze ori de câte ori este nevoie. Afișare informațiilor la nivel de fereastră server este prezentată în Figura 4.4.1 prezentată mai jos.



Figura 4.4.1. Fereastra Server

În funcție de regulatoarele pornite, performanțele pot fi urmărite la nivelul ferestrei aferente. Existența celor două interfețe client și server permite utilizarea sistemului pe două dispozitive diferite, fapt ce marchează comportamentul unui sistem distribuit. Comunicarea între cele două se realizează cu ajutorul socket-urilor iar timpul de comunicare diferă în funcție de caz: dacă ambele ferestre sunt pornite la nivelul aceluiași calculator, transmiterea informațiilor este realizată într-un timp mult mai scurt în comparație cu timpul de transmitere în cazul în care aceste interfețe ar rula pe dispozitive diferite.

## 5 Concluzii

### 5.1 Rezultate obținute

Proiectul curent urmărește să aducă un aport în dezvoltarea sistemelor de control distribuite care să utilizeze rețele de tip FLETPN. Obiectivul propus la începutul acestei lucrări îl prezintă proiectarea unui sistem de reglare a temperaturii într-o încăpere pentru a sprijini reducerea consumului necesar de asigurare a confortului termic dorit. Utilizarea logicii fuzzy permite posibilitatea de a simula un comportament dinamic, capabil să răspundă la modificări externe pentru a realiza funcția de control.

Modalitatea de implementare a aplicației este realizată sub forma unui sistem distribuit pentru a permite posibilitatea de implementare ulterioară a noi componente care să comunice împreună. Avantajul principal constă însă în posibilitatea de a utiliza doar un set de regulatoare din cele prezente în funcție de cerințele impuse de utilizator. Acest aspect duce în consecință la reducerea complexității sistemului, la creșterea robusteții aplicației dar și la oferirea unui tip de răspuns scurt. Prin realizarea acestui sistem care permite comunicarea dintre regulatoarele prezente, se poate realiza o gestionare mai simplă a funcționalităților, acest lucru în consecință duce la creșterea robusteții aplicației.

Contribuția principală adusă în domeniu este realizarea aplicației demonstrative care permite testarea componentelor prezente în sistem. La nivelul acestei aplicații se remarcă prezența regulatoarelor fuzzy modelate astfel încât acestea să poată realiza corespunzător funcția de control. La nivelul de luare a deciziilor, utilizatorul are posibilitatea de a alege scenariul de funcționare cât și numărul de regulatoare care să fie puse în funcțiune. Totodată, la nivelul regulatorului de tip termostat se poate alege temperatura de referință pe care să o urmărească sistemul.

O altă caracteristică importantă realizată la nivelul proiectului constă în posibilitatea de a urmări modificările de sistem. Prin intermediul aplicației se pot vizualiza diferite elemente precum grafice sau comenzi de valori pentru a urmări comportamentul fiecărui element în parte și pentru a putea analiza performanțele obținute în urma rulării. În urma studierii acestor performanțe se constată că se obține un set bun de performanțe, fapt pentru care se justifică necesitatea dezvoltării ulterioare în domeniu pentru a reduce costul de consum al unei centrale termice.

Un plus adus în domeniu cu această aplicație constă în faptul că spre deosebire de majoritatea sistemelor de încălzire realizată în această manieră, implementarea unui model matematic al unui boiler cât și al unui aer condiționat permite reglarea pe parcursul unui an întreg, nu doar pe un anumit anotimp. De regulă aceste sisteme există dar sunt adesea implementate separat, prin combinarea acestora însă se poate economisi la capitolul de implementare fizică, nefiind nevoie să se creeze un centru de comandă pentru două sisteme diferite. Mai mult decât atât, prezența unui aer

condiționat care poate asigura și aer cald este un factor adițional care permite atingerea performanțelor minime în perioadele reci mult mai repede și în cazul unei eventuale defectări a regulatorului care se ocupă de încălzirea apei, sistemul este în continuare capabil să realizeze reglarea într-o oarecare măsură.

Un alt avantaj adus la nivelul acestei aplicații constă în proiectarea acestuia în Java. De regulă un astfel de sistem este implementat în medii precum matlab dar prin utilizarea utilitarului FuzzPVisual, se facilitează posibilitatea de a dezvolta aplicația deoarece mediul Java prezintă un număr ridicat de framework-uri și biblioteci. Totodată, mașina virtuală Java este independentă de platformă, fapt pentru care se permite rularea unui program pe orice sistem de operare.

În cele din urmă, contribuția proprie generală se axează pe realizarea aplicației demonstrative care permite urmărirea și controlul unui sistem de reglare a temperaturii distribuit. Din cauza complexității aduse de un astfel de proiect implementat la scară reală, această lucrare se axează doar pe realizarea aplicației software prin realizarea modelelor matematice ale componentelor existente și crearea reguletoarelor aferente cu ajutorul rețelelor FLETPN. Mai mult de cât atât, se concep regulile fuzzy care acționează la nivelul tranzițiilor și se realizează în cele din urmă comunicarea dintre reglatoare și centrala termică.

## 5.2 Direcții de dezvoltare

Acest ultim capitol urmărește să ofere o serie de obiective care pot duce la dezvoltarea ulterioară a aplicației. Prin realizarea acestui capitol, se facilitează substanțial urmărirea pașilor ce pot duce în viitor la completarea și optimizarea mai în detaliu a sistemului de încălzire a unei camere realizat cu rețelele FLETPN.

Un prim pas de dezvoltare constă în realizarea unei implementări reale în care componenta software să comunice cu componentele hardware care în acest proiect sunt modelate în interiorul aplicației. Acest lucru implică necesitatea de a interconecta componente precum aerul condiționat sau boilerul care încălzește apa din calorifere pentru ca acestea să poată fi controlate de reglatoarele aferente.

La nivel de achiziționare a datelor, apare nevoia utilizării a diferiți tipuri de senzori pentru a putea transmite reguletoarelor parametrii necesari. Astfel, este nevoie de o serie de senzori de temperatură pentru a achiziționa: temperatura din cameră, temperatura apei din cadrul boilerului, temperatura vremii de afară și eventual se pot adăuga și senzori de temperatură la nivelul caloriferelor pentru a putea determina care este gradul de pierdere a nivelului temperaturii cauzat de transmiterea agentului termic pe țevile de transport. Senzorii de temperatură pentru mediul extern și cele puse la nivelul caloriferelor apar cu scopul de a permite transmiterea datelor la nivelul centralei ca aceasta să fie capabilă să rejeteze aceste perturbații. Tot la nivel de perturbații, se pot introduce și alte tipuri de senzori precum senzorii ultrasonici care să fie amplasați pe ușile și geamurile din încăperea, acești senzori fiind capabili să detecteze modificarea de stare. În cazul în care un geam sau o ușă este deschisă pentru o perioadă îndelungată



de timp, centrala trebuie să fie anunțată de această schimbare pentru a fi capabilă să compenseze la ajustarea temperaturii interne.

Într-o implementare fizică se dorește nu doar reglarea temperaturii într-o singură cameră, ci în întreaga locuință. Datorită acestui fapt, se pot introduce în sistem mai multe camere a căror factor de încălzire diferă. De exemplu, o cameră mică se încălzește mult mai rapid decât o sufragerie, însă indiferent de cameră se dorește ca procesul de încălzire să fie egal în ambele încăperi. Astfel, pentru fiecare cameră, se poate crea un model matematic și se pot modela în așa fel încât în funcție de mărimea încăperii sau de faptul că o cameră este conectată cu un perete extesssrior. Prin introducerea acestor parametrii, centrala poate fi controlată în așa fel încât în încăperea mai mare să se compenseze mai mult. Evident, un alt beneficiu al acestui tip de implementare constă în faptul că în funcție de cerințele utilizatorului, de multe ori nu se dorește încălzirea tuturor camerelor din locuință deoarece controlul temperaturii asupra camerelor neutilizate duce la un consum în plus de care beneficiarul nu profită.

Datorită faptului că se utilizează rețele FLETPN, implementarea de noi elemente este posibilă. Astfel, se pot introduce alte tipuri de regulatoare care să țină cont de factorii externi. De exemplu se poate crea un Light Intensity Controller(LIC) care, în funcție de cât de prezent este pe cer soarele într-o anumită zi, centrala poate să compenseze în plus la ajustarea temperaturii. În manieră similară, există posibilitatea creerii unui regulator Wind Speed Controller (WSC) care în funcție de cât de mare este viteza vântului, acesta să poată trimite un semnal către centrală. Atât apariția soarelui cât și prezența vântului pot într-o oarecare măsură să modifice temperatura de afară, fapt pentru care s-ar putea justifica implementarea unor astfel de regulatoare.

Această aplicație demonstrativă este accesibilă sub forma unei aplicații disponibile pe un calculator personal. O implementare mai bună poate fi realizarea unei aplicații de mobil pentru aceasta. Acest lucru ar fi mult mai practic deoarece majoritatea persoanelor dețin un telefon inteligent, dar numărul de persoane care dețin și un calculator este puțin mai redus. Astfel utilizarea unui astfel de sistem ar fi mult mai atractivă pentru un potențial client și ar facilita posibilitatea de a monitoriza și ajusta comportamentul sistemului de la distanță.

Crearea unei aplicații pe mobil duce în consecință la necesitatea adăugării unui nivel de securitate asupra sistemului. Astfel, un prim strat poate consta în logarea utilizatorului la aplicație cu ajutorul unui set de credențiale de tip utilizatori și parolă. Mai mult decât atât, se poate include utilizarea aplicației doar dacă telefonul este conectat la un Virtual Private Network(VPN). În ultimii se observă tot mai mult apariția autentificării în doi factori, fapt pentru care un astfel de implementare ar spori semnificativ nivelul de siguranță. La logare se poate cere un cod care este trimis de către server pe adresa de email asociată contului pentru a verifica că utilizatorul este întradevăr cel care dorește să acceseze funcționalitățile aplicației.

Un ultim mod de a dezvolta aplicația poate fi conectarea sistemului cu o bază de date care să stocheze date precum: temperatura zilnică în fiecare oră, gradul de consum al energiei sau chiar cât de mult este deschisă ușa sau geamul într-o zi, eventual chiar și o asociere cu intervalul de timp în care acestea două sunt deschise. Prin implementarea

acestei baze de date se poate realiza un control predictiv în funcție de anotimp dar și în funcție de comportamentul utilizatorului asupra sistemului. Prin introducerea acestor date într-un sistem de Machine Learning ar fi posibilă o eventuală creștere graduală a performanței sistemului cu cât se injectează mai multe date. Astfel, consumul raportat la fiecare anotimp ar scădea odată cu costurile de întreținere.

În cele din urmă, se observă o gamă largă de direcții de dezvoltare a aplicației, fapt pentru care se dorește o extindere a popularității în domeniu pentru a stimula crearea de noi tehnologii mai avansate nu doar la nivelul reglării temperaturii, ci în general la nivelul realizării de sisteme inteligente. În consecință, prin diseminarea acestui domeniu de lucru se poate garanta un viitor în care confortul este sporit și mediul de viață este în general îmbunătățit prin facilitatea diferitelor nevoilor umane.

## 6 Bibliografie

---

- [1] N. Kopmann, R. Streblow and D. Müller, "Test of new control strategies for room temperature control systems fully controllable surroundings for a heating system with radiators," 2015 International Conference on Smart Cities and Green ICT Systems (SMARTGREENS), Lisbon, Portugal, 2015, pp. 1-6
- [2] <https://users.utcluj.ro/~ocuibus/>
- [3] Ross, T. J. (2010). Fuzzy Logic with Engineering Applications.pg. 134-135
- [4] T. S. Letia and A. O. Kilyen, "Fuzzy logic enhanced time Petri Net models for hybrid control systems," 2016 IEEE International Conference on Automation, Quality and Testing, Robotics (AQTR), Cluj-Napoca, Romania, 2016, pp. 1-6
- [5] J. C. Mugisha, B. Munyazikwiye and H. R. Karími, "Design of temperature control system using conventional PID and Intelligent Fuzzy Logic controller," 2015 International Conference on Fuzzy Theory and Its Applications (iFUZZY), Yilan, Taiwan, 2015, pp. 50-55
- [6] S. Y. Liao, H. Q. Wang and W. Y. Liu, "Functional dependencies with null values, fuzzy values, and crisp values," in IEEE Transactions on Fuzzy Systems, vol. 7, no. 1, pp. 97-103, 1999
- [7] A. Pourabdollah, "Fuzzy Number Value or Defuzzified Value; Which One Does It Better?," 2020 IEEE International Conference on Fuzzy Systems (FUZZ-IEEE), Glasgow, UK, 2020, pp. 1-6
- [8] M. M. Pirbazari, A. Khoei and K. Hadidi, "Optimization of inference engine in CMOS analog fuzzy logic controllers," 2013 21st Iranian Conference on Electrical Engineering (ICEE), Mashhad, Iran, 2013, pp. 1-6
- [9] T. Murata, "Petri nets: Properties, analysis and applications," in *Proceedings of the IEEE*, vol. 77, no. 4, pp. 541-580, 1989
- [10] T. S. Letia and O. Kilyen, "Enhancing the time Petri nets for automatic hybrid control synthesis," 2014 18th International Conference on System Theory, Control and Computing (ICSTCC), Sinaia, Romania, 2014, pp. 621-626
- [11] O. Cuibus and T. Leția, "Approaching Problems with Different Kinds of Petri Net Models," 2022 IEEE International Conference on Automation, Quality and Testing, Robotics (AQTR), Cluj-Napoca, Romania, 2022, pp. 1-6
- [12] [https://en.wikipedia.org/wiki/Thermal\\_power\\_station](https://en.wikipedia.org/wiki/Thermal_power_station)
- [13] <https://www.viessmann.ro/ro/blog/cele-mai-populare-sisteme-de-incalzire-folosite-la-ora-actuala-in-europa.html>
- [14] A. Chulenyov, K. Agakhanova and D. Abramkina, "The Use of Condensing Boilers in Autonomous Heating Systems," 2020 International Multi-Conference on Industrial Engineering and Modern Technologies (FarEastCon), Vladivostok, Russia, 2020, pp. 1-4
- [15] <https://www.quickshop.ro/ce-este-histereza-si-cum-reglezi-termostatul-a154>
- [16] <https://eprof.ro/docs/mm/12/sisteme-reglare-automată/fisa%20de%20documentare%2011%20-%20Regulatoare%20neliniare.pdf>

- [17] Z. Shi and C. Wang, "Application of fuzzy control in temperature control systems," *Proceedings of 2011 International Conference on Electronic & Mechanical Engineering and Information Technology*, Harbin, China, 2011, pp. 451-453
- [18] Andrews, Gregory R, *Foundations of Multithreaded, Parallel, and Distributed Programming*, Addison-Wesley, 2000, pp. 2-3,21-23,291-294
- [19] B. S. Rawal, L. Berman and H. Ramcharan, "Multi-client/Multi-server split architecture," *The International Conference on Information Networking 2013 (ICOIN)*, Bangkok, Thailand, 2013, pp. 696-701
- [20] B. Davey and A. Tatnall, "Tools for client server computing," *Proceedings 1996 International Conference Software Engineering: Education and Practice*, Dunedin, New Zealand, 1996
- [21] <https://www.simplilearn.com/what-is-client-server-architecture-article>
- [22] <https://stackify.com/oops-concepts-in-java/>
- [23] [https://sourcemaking.com/design\\_patterns/](https://sourcemaking.com/design_patterns/)
- [24] <https://www.turing.com/blog/software-architecture-patterns-types>
- [25] <https://refactoring.guru/design-patterns/factory-method>
- [26] <https://github.com/AttilaOrs/FuzzP/tree/master>
- [27] <https://www.visual-paradigm.com/guide/uml-unified-modeling-language/uml-class-diagram-tutorial/>